



REGIONE
CAMPANIA



COMUNE DI
ARIANO IRPINO



PROVINCIA DI
AVELLINO

PROGETTO DEFINITIVO

Lavori di realizzazione di un parco agrovoltaico della potenza di 103 MW con annesso impianto di storage e delle relative opere connesse nel comune di Ariano Irpino (AV)

Titolo elaborato

PD_1_07_EL_Relazione tecnica specialistica sull'impatto elettromagnetico

Codice elaborato

F0500AR07A

Scala

-

Riproduzione o consegna a terzi solo dietro
specifica autorizzazione.

Progettazione



F4 ingegneria srl

Via Di Giura - Centro direzionale, 85100 Potenza
Tel: +39 0971 1944797 - Fax: +39 0971 55452
www.f4ingegneria.it - f4ingegneria@pec.it

Il Direttore Tecnico
(ing. Giorgio ZUCCARO)



Gruppo di lavoro

ing. Mauro MARELLA
ing. Marco LORUSSO
ing. Pierfrancesco ZIRPOLI
dott. for. Luigi ZUCCARO
ing. Luca FRESCURA
ing. Antonella NOLE'
ing. Denise TELESCA
arch. Gaia TELESCA
dott.ssa. Luciana TELESCA
ing. Cristina GUGLIELMI
ing. Manuela NARDOZZA
ing. Beniamino D'ERCOLE



Società certificata secondo le norme UNI-EN ISO 9001:2015 e UNI-EN ISO 14001:2015 per l'erogazione di servizi di ingegneria nei settori: civile, idraulica, acustica, energia, ambiente (settore IAF: 34).



EPF srl - Via Cesare Battisti, 116 83053 S. Andrea di Conza (AV)
Tel e Fax+39 0827 35687

Consulenze specialistiche

Committente

WEB PV ARIANO S.r.l

Via Leonardo Da Vinci 15, 39100 Bolzano (Bz)

Presidente Consiglio di Amministrazione
KAINZ REINHARD

Data	Descrizione	Redatto	Verificato	Approvato
Febbraio 2023	Prima emissione	VELLA	MMA	GZU

Relazione tecnica specialistica sull'impatto elettromagnetico

Sommario

1	Premessa	4
2	Normativa tecnica di riferimento	5
3	Descrizione generale del progetto	8
4	Reti elettriche interne (MT)	9
	4.1 Dimensionamento cavi	14
	4.1.1 Cavi MT	14
5	Valutazione dei campi elettrici e campi magnetici a bassa frequenza (ELF)	30
	5.1 Definizioni e unità di misura	30
	5.2 Valori di induzione magnetica generati da un filo isolato	31
	5.3 Valori limite	32
	5.4 Differenza tra campi magnetici indotti da linee elettriche aeree e da cavidotti interrati	33
6	Fasce di rispetto	35
	6.1 Cavidotti interrati AT	35
	6.2 LINEE ELETTRICHE INTERRATE IN MT	35
	6.2.1 Calcolo e verifica dei campi ELF emessi dalla linea interrata	36
	6.2.2 Condizioni di carico ed ipotesi di calcolo	40
	6.3 Cabine di trasformazione interne al campo fotovoltaico e cabine di smistamento	41
	6.3.1 Possibili interventi di riduzione del campo elettromagnetico	41
	6.3.2 Distanza di prima approssimazione per cabine di trasformazione con installato un solo trasformatore	42
7	Sottostazione di condivisione e trasformazione MT/AT	45
	7.1 Raccordo interrato AT	48
8	Conclusioni	51

1 Premessa

Il presente progetto definitivo si riferisce alla realizzazione di un impianto di energia rinnovabile da fonte solare con relative opere di connessione nel comune di Ariano Irpino, in provincia di Avellino (AV).

Le opere in progetto sono proposte dalla società WEB PV ARIANO S.r.l. con sede in Via Leonardo Da Vinci 15, Bolzano (BZ).

Nello specifico, l'impianto sarà costituito da un totale di 182280 moduli fotovoltaici bifacciali organizzati in stringhe da 30 moduli e disposti in 7 campi, a loro volta divisi in sottocampi ciascuno collegato a una cabina MT/BT. L'impianto, caratterizzato da una potenza complessiva installata di 120,3 MW, sarà integrato con un impianto di accumulo, e l'immissione in rete dell'energia prodotta, per una potenza massima di 103MW, avverrà mediante elettrodotto interrato di circa 12km collegato in antenna, mediante condivisione dello stallo, alla sezione a 150kV di una futura Stazione Elettrica a 380 kV da collegare in entra-esce sulla linea 380kV "Benevento 2 – Foggia" localizzata nel Comune di Ariano Irpino (AV).

Si precisa, inoltre, che l'impianto in oggetto si caratterizza come impianto "agrovoltaiico", ovvero un impianto che permette di preservare l'attività di coltivazione agricola o pastorale, garantendo una buona produzione energetica. La progettazione è stata perseguita tenendo conto delle recenti linee guida in materia di impianti agrovoltaiici del Ministero della Transizione Ecologica (Mite) del giugno 2022.

Pertanto, il progetto è perseguito in coerenza con le indicazioni del Piano Nazionale Integrato per l'Energia e il Clima (PNIEC) e tenendo conto del Piano Nazionale di Ripresa e Resilienza (PNRR, legge 29 luglio 2021, n.108).

La presente relazione ha lo scopo di descrivere le emissioni di campi magnetici, elettrici ed elettromagnetici generati durante l'esercizio del campo fotovoltaico, dai collegamenti in MT, dalle cabine di trasformazione e dai quadri.

Il campo fotovoltaico sarà esercito in alta tensione in corrente alternata alla tensione di 30 kV.

2 Normativa tecnica di riferimento

Il presente progetto è coerente con le seguenti disposizioni normative:

Legge n. 186 del 01.03.68 - Costruzione e realizzazione di materiali e impianti a regola d'arte;

- D.M. 37/08 - Norme per la sicurezza degli impianti;
- D.lgs. 81/08 – Testo Unico sulla salute e Sicurezza sul Lavoro;
- D.lgs. 106/09 – Disposizioni integrative e correttive del decreto legislativo 9 aprile 2008 n° 81, in materia della salute e della sicurezza nei luoghi di lavoro;
- CEI 0-2 - Guida per la definizione della documentazione di progetto degli impianti elettrici;
- CEI 0-16 - Regola tecnica di riferimento per la connessione di utenti attivi e passivi alle reti AT ed MT delle imprese distributrici di energia elettrica;
- CEI 11-1 - Impianti elettrici con tensione superiore a 1000 V in corrente alternata;
- CEI 11-20 - Impianti di produzione di energia elettrica e gruppi di continuità collegati a reti di I e II categoria;
- CEI 11-35 - Guida per l'esecuzione di cabine elettriche MT/BT del cliente/utente finale;
- CEI 11-37 - Guida per l'esecuzione degli impianti di terra nei sistemi utilizzatori di energia alimentati a tensione maggiore di 1 kV;
- CEI 17-13 - Apparecchiature assiemate di protezione e manovra per bassa tensione (Quadri BT);
- CEI 17-63 - Sottostazioni prefabbricate ad alta tensione/bassa tensione;
- CEI 64-8 - Impianti elettrici utilizzatori a tensione nominale non superiore a 1000 V in corrente alternata e 1500 V in corrente continua;
- CEI 81-10/1 (EN 62305-1) - "Protezione contro i fulmini. Parte 1: Principi Generali";
- CEI 81-10/2 (EN 62305-2) - "Protezione contro i fulmini. Parte 2: Valutazione del rischio";
- CEI 81-10/3 (EN 62305-3) - "Protezione contro i fulmini. Parte 3: Danno materiale alle strutture e pericolo per le persone";
- CEI 81-10/4 (EN 62305-4) - "Protezione contro i fulmini. Parte 4: Impianti elettrici ed elettronici nelle strutture";
- CEI 81-3 - "Valori medi del numero dei fulmini a terra per anno e per chilometro quadrato dei Comuni d'Italia, in ordine alfabetico";
- CEI 20 - Guida per l'uso di cavi in bassa tensione;
- CEI UNEL 35024/1 - Cavi elettrici isolati con materiale elastomerico o termoplastico per tensioni nominali non superiori a 1000 V in corrente alternata e 1500 V in corrente continua - Portate di corrente in regime permanente per posa in aria;
- CEI UNEL 35027 - Cavi di energia per tensione nominale U superiore ad 1 kV con isolante di carta impregnata o elastomerico o termoplastico - Portate di corrente in regime permanente - Generalità per la posa in aria ed interrata;
- D.M. 10/09/2010 - Linee guida per l'autorizzazione degli impianti da fonti rinnovabili;
- REGIO DECRETO LEGISLATIVO 30 Dicembre 1923, n. 326 - Riordinamento e riforma della legislazione in materia di boschi e di terreni montani;
- D.lgs. 22 gennaio 2004, n. 42 - Codice dei beni culturali e del paesaggio, ai sensi dell'articolo 10 della legge 6 luglio 2002, n.137;
- D.M. 04/07/2019 - Incentivazione dell'energia elettrica prodotta dagli impianti eolici on shore, solari fotovoltaici, idroelettrici e a gas residuati dei processi di depurazione;
- D.lgs. n.42/04 - Piano Paesaggistico Regionale;

- Legge Regionale 11 settembre 2017, n.21;
- Legge Regionale 22 novembre 2018, n.38.

Relativamente al presente elaborato, in particolare, si è tenuto altresì conto delle seguenti ulteriori disposizioni normative:

- D.M. del 29 maggio 2008 - Approvazione della metodologia di calcolo per la determinazione delle fasce di rispetto per gli elettrodotti;
- d.p.c.m. del 8 luglio 2003 "Fissazione dei limiti di esposizione, dei valori di attenzione e degli obiettivi di qualità per la protezione della popolazione dalle esposizioni ai campi elettrici e magnetici alla frequenza di rete (50 Hz) generati dagli elettrodotti";
- Legge n.36 del 22 febbraio 2001;
- Decreto Interministeriale del 21 marzo 1988 n.449;
- CEI ENV 50166-1 1997-06 - Esposizione umana ai campi elettromagnetici Bassa frequenza (0-10 kHz);
- CEI 11-60 2000-07 - Portata al limite termico delle linee elettriche aeree esterne con tensione maggiore di 100 kV;
- CEI 211-6 2001-01 - Guida per la misura e per la valutazione dei campi elettrici e magnetici nell'intervallo di frequenza 0 Hz-10 kHz con riferimento all'esposizione umana;
- CEI 106-11 2006-02 - Guida per la determinazione delle fasce di rispetto per gli elettrodotti secondo le disposizioni del dpcm 8 luglio 2003. Parte 1 Linee elettriche aeree o in cavo;
- CEI 211-4 2008-09 - Guida ai metodi di calcolo dei campi elettrici e magnetici generati da linee e da stazioni elettriche.

Per quanto riguarda la definizione delle grandezze elettromagnetiche di interesse si fa riferimento alla norma CEI 211-6 (2001-01), prima edizione, "*Guida per la misura e per la valutazione dei campi elettrici e magnetici nell'intervallo di frequenza 0 kHz - 10 KHz, con riferimento all'esposizione umana*".

In merito, invece, alle definizioni di esposizione, limite di esposizione, valore di attenzione, obiettivo di qualità, elettrodotto, valgono le definizioni contenute all'art. 3 della legge 22 febbraio 2001, n. 36, "*Legge quadro sulla protezione dalle esposizioni a campi elettrici, magnetici ed elettromagnetici*":

- *esposizione*: è la condizione di una persona soggetta a campi elettrici, magnetici, elettromagnetici, o a correnti di contatto, di origine artificiale;
- *limite di esposizione*: è il valore di campo elettrico, magnetico ed elettromagnetico, considerato come valore di immissione, definito ai fini della tutela della salute da effetti acuti, che non deve essere superato in alcuna condizione di esposizione della popolazione e dei lavoratori per le finalità di cui all'articolo 1, comma 1, lettera a);
- *valore di attenzione*: è il valore di campo elettrico, magnetico ed elettromagnetico, considerato come valore di immissione, che non deve essere, superato negli ambienti abitativi, scolastici e nei luoghi adibiti a permanenze prolungate per le finalità di cui all'articolo 1, comma 1, lettere b) e c). Esso costituisce misura di cautela ai fini della protezione da possibili effetti a lungo termine e deve essere raggiunto nei tempi e nei modi previsti dalla legge;
- *obiettivi di qualità*: 1) i criteri localizzativi, gli standard urbanistici, le prescrizioni e le incentivazioni per l'utilizzo delle migliori tecnologie disponibili, indicati dalle leggi regionali secondo le competenze definite dall'articolo 8; 2) i valori di campo elettrico, magnetico ed elettromagnetico, definiti dallo Stato secondo le previsioni di cui all'articolo 4, comma 1, lettera a), ai fini della progressiva mitigazione dell'esposizione ai campi medesimi;

- *elettrodotta*: è l'insieme delle linee elettriche, delle sottostazioni e delle cabine di trasformazione;
- *esposizione dei lavoratori e delle lavoratrici*: è ogni tipo di esposizione dei lavoratori e delle lavoratrici che, per la loro specifica attività lavorativa, sono esposti a campi elettrici, magnetici ed elettromagnetici;
- *esposizione della popolazione*: è ogni tipo di esposizione ai campi elettrici, magnetici ed elettromagnetici. ad eccezione dell'esposizione di cui alla lettera f) e di quella intenzionale per scopi diagnostici o terapeutici.

3 Descrizione generale del progetto

Il progetto prevede la realizzazione di un impianto per la produzione di energia elettrica mediante tecnologia fotovoltaica, tramite l'installazione a terra di pannelli fotovoltaici montati su strutture metalliche di supporto con inclinazione di 30° verso sud.

I pannelli fotovoltaici saranno del tipo bifacciale, ovvero moduli a doppio vetro in grado di convertire in elettricità elettrica la luce incidente sul lato posteriore in aggiunta a ciò che viene generato dal lato anteriore, fornendo una maggiore potenza di uscita, risultando più performanti e più convenienti in termini di generazione di energia solare, nonché tolleranza per ambienti difficili e condizioni meteorologiche estreme.

I pannelli saranno collegati in serie formando una "stringa", che sarà collegata in parallelo ad altre stringhe a inverter distribuiti che trasformano la corrente continua prodotta dai pannelli in corrente alternata trifase ad una tensione di 800V. Gli inverter di stringa saranno collegati mediante cavi BT alle cabine di campo che ospitano il quadro di parallelo degli inverter e il trasformatore MT/BT fungendo anche da "cabine di trasformazione" incrementando il voltaggio fino alla media tensione (MT 30kV). Le cabine di campo saranno collegate alla cabina di consegna finale situata anche quest'ultima all'interno dell'area di impianto. A valle della cabina di consegna di campo, l'energia verrà trasferita mediante un unico cavidotto esterno alla sottostazione di condivisione e trasformazione e, da qui, alla Rete di Trasmissione Nazionale (RTN) tramite il punto di connessione posto nel territorio comunale di Ariano Irpino.

L'impianto è caratterizzato da una **potenza di picco installata in corrente continua, di 120,3MW** ed è suddiviso in 7 "campi", collegati ad altrettante cabine di campo caratterizzate dalle seguenti potenze di picco in corrente alternata date dalla somma delle potenze nominali degli inverter di stringa collegati:

- campo 1: potenza di picco 13,5 MW
- campo 2: potenza di picco 10,9 MW
- campo 3: potenza di picco 21,6 MW
- campo 4: potenza di picco 15,6 MW
- campo 5: potenza di picco 16,5 MW
- campo 6: potenza di picco 15,3 MW
- campo 7: potenza di picco 9,6 MW

La potenza totale immessa in rete è pari a 103,00 MW.

In adiacenza all'impianto fotovoltaico è prevista la realizzazione di un sistema di accumulo a batterie con unità containerizzate, inverter e trasformatori per una potenza di prelievo ed immissione di 50MW e una capacità di 200MWh.

4 Reti elettriche interne (MT)

La rete di distribuzione in Media Tensione interna al campo sarà realizzata con linea principale utilizzando cavi tripolari con anima in alluminio tipo ARE4H5EEX –20,8/36 kV IEC (IEC 60540) o cavi tripolari con anima in rame tipo RG7H1M1 18/30kV IEC (IEC 60502) con sezione variabile in funzione della potenza trasportata. Si riportano di seguito le schede tecniche dei cavi.

Tabella 1: scheda tecnica cavi MT alluminio

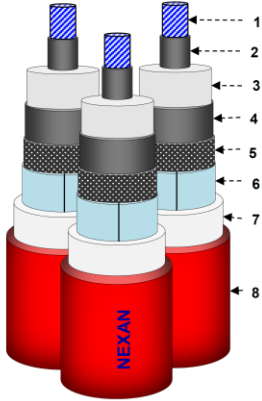
		ARE4H5EEX 20,8/36 kV 3x1x... SK2	
HIGH VOLTAGE CABLE THREE SINGLE CORE CABLES IN TRIPLEX FORMATION WITH ALUMINIUM CONDUCTOR, REDUCED THICKNESS XLPE INSULATION, ALUMINIUM TAPE SCREEN AND DOUBLE PE SHEATH, SHOCK RESISTANT .			
APPLICATIONS AND CHARACTERISTICS In HV energy distribution networks for voltage systems up to 42kV. Suitable for fixed installation indoor or outdoor laying in air or directly or indirectly buried, also in wet location. SHOCK PROOF SK2 has a very good shock resistance characteristics. The two special outer sheaths provide an excellent protection against impact and mechanical abuse during the lifetime of the cable. Shock Proof SK2 cable performances has been evaluated against mechanical protection by the abrasion test and the impact test included in CEI 20-68 standard. This type of cable can be directly buried without additional protections because it is comparable to an armoured cable.			
FUNCTIONAL CHARACTERISTICS Rated voltage U_0/U_n : 20,8/36 kV Maximum voltage U_m : 42 kV Test voltage: 2,5 U₀ Max operating temperature of conductor: 90 °C Max short-circuit temperature: 250 °C (for max 5 s) Max short-circuit temperature (screen): 150 °C			
CONSTRUCTION 1. Conductor <i>stranded, compacted, round, aluminium - class 2 acc. to IEC 60228</i> 2. Conductor screen <i>extruded semiconducting compound</i> 3. Insulation <i>extruded cross-linked polyethylene (XLPE) compound</i> 4. Insulation screen <i>extruded semiconducting compound - fully bonded</i> 5. Longitudinal watertightness <i>semiconducting water blocking tape</i> 6. Metallic screen and radial water barrier <i>aluminium tape longitudinally applied (nominal thickness = 0,20 mm)</i> 7. First sheath - 1 <i>extruded PE compound</i> 8. Second sheath - 2 <i>extruded PE compound - colour: red with improved impact resistance</i>			
Max pulling force during laying 50 N/mm ² (applied on the conductors) Min bending radius during laying 21 D _{phase} (dynamic condition) Minimum temperature during laying - 25 °C (cable temperature)		STANDARDS IEC 60840 where applicable (<i>testing</i>) Nexans Design HD 620 where applicable (<i>materials</i>) CEI 20-68 where applicable (<i>impact test</i>)	
MARKING by ink of the following legend: On PHASE 1 : "NEXANS B <Year> ARE4H5EEX 20,8/36kV 3x1x <S> SK2 FASE 1 <meter marking>" On PHASE 2 : "FASE 2" On PHASE 3 : "FASE 3" <YEAR> = Year of manufacturing <S> = Section of the conductor			
 Mechanical resistance to impacts: very good (CEI 20-68)		 Longitudinal waterproof	
 Radial waterproof		 Max operating temp. of conductor: 90 °C	
 Max short-circuit temperature: 250 °C		 Minimum installation temperature: -25 °C	

Tabella 2: scheda tecnica cavi MT rame

CAVI MEDIA TENSIONE - ENERGIA
MEDIUM VOLTAGE CABLES - POWER

RG7H1M1 12/20 kV - 18/30 kV
 MEDIA TENSIONE - SENZA PIOMBO - ZERO ALOGENI
 MEDIUM VOLTAGE - LEAD-FREE - HALOGEN-FREE



NON PROPAGANTE
LA FIAMMA
FLAME RETARDANT



NON PROPAGANTE
L'INCENDIO
FIRE RETARDANT
CEI EN 20-22 III



BASSA EMISSIONE
FUMI, GAS TOSSICI E
CORROSIVI
LOW EMISSION OF
SMOKE, TOXIC AND
CORROSIVE GASES



RESISTENTE AGLI OLI
OIL RESISTANT



ZERO ALOGENI
HALOGEN-FREE



SENZA PIOMBO
LEAD-FREE

RIFERIMENTO NORMATIVO/STANDARD REFERENCE	
Costruzione e requisiti/Construction and specifications	[p.q.a.]/generally to IEC 60502 [p.q.a.]/generally to CEI 20-13 HD 620
Misura delle scariche parziali/Measurement of partial discharges	CEI 20-16
Propagazione fiamma/Flame propagation	CEI EN 60332-1-2
Propagazione dell'incendio/Fire propagation	CEI EN 60332-3-24 (CEI 20-22 III)
Gas corrosivi o alogenidrici/Corrosive gases or halogens	CEI EN 50267-2-1
Emissione di fumi (trasmissione)/Smoke density (transmittance)	CEI EN 61034-2
Resistenza agli idrocarburi/Resistance to hydrocarbons	CEI 20-34/0-1



DESCRIZIONE:
 Cavi unipolari isolati in gomma HEPR di qualità G7, a spessore ridotto, con temperatura massima di esercizio di 105°C. Un'elevata temperatura di esercizio ne consente l'impiego con un sovraccarico del 10% circa in esercizio continuo e/o maggiori margini in situazioni critiche rispetto ai cavi tradizionali.

DESCRIZIONE:
 Single-core cables are insulated with HEPR rubber of G7 quality, with reduced thickness and maximum operating temperature of 105°C. In case of high temperature is allowed a 10% overload in continuous operation and/or higher margins in critical situations than traditional cables.

CARATTERISTICHE FUNZIONALI:

- Tensione nominale U₀/U:
 RG7H1M1 12/10 kV: 12/20 kV
 RG7H1M1 18/30 kV: 18/30 kV
- Tensione massima di esercizio U₀/U:
 RG7H1M1 12/10 kV: U_m 24 kV
 RG7H1M1 18/30 kV: U_m 36 kV
- Temperatura massima di esercizio: 105°C
- Temperatura minima di esercizio: -15°C (in assenza di sollecitazioni meccaniche)
- Temperatura minima di posa: 0°C
- Temperatura massima di corto circuito: 300°C
- Raggio minimo di curvatura consigliato: 12 volte il diametro del cavo.
- Massimo sforzo di trazione consigliato: 60 N/mm² di sezione del rame

CONDIZIONI DI IMPIEGO:
 Adatto per il trasporto di energia tra le cabine di trasformazione e le grandi utenze; particolarmente indicati nei luoghi con pericolo d'incendio, nei locali dove si concentrano apparecchiature, quadri e strumentazioni dove è fondamentale la loro salvaguardia. Ammessa la posa interrata, in conformità all'art. 4.3.11 della norma CEI 11-17.

FUNCTIONAL CHARACTERISTICS

- Nominal voltage U₀/U:
 RG7H1M1 12/10 kV: 12/20 kV
 RG7H1M1 18/30 kV: 18/30 kV
- Max operating voltage:
 RG7H1M1 12/10 kV: U_m 24 kV
 RG7H1M1 18/30 kV: U_m 36 kV
- Maximum operating temperature: 105°C
- Min. operating temperature: -15°C (without mechanical shocks)
- Minimum installation temperature: 0°C
- Maximum short circuit temperature: 300°C
- Recommended minimum bending radius: 12 times the cable diameter.
- Recommended maximum tensile stress: 60 N/mm² of the cross-section of the copper

USE AND INSTALLATION
 Suitable for energy transmission between transformer rooms and big power users; mostly suitable for premises with fire risk, and places where appliances, electrical (switch) boxes and instruments are operating and whose safeguard is fundamental. Can be laid underground, complying with art. 4.3.11 of CEI 11-17 standard.

COM/CAVI

I cavi saranno posati ad una profondità minima di 1,20 m e circondati da uno strato di sabbia vagliata e protetti da tegoli vi sarà un nastro segnalatore ad un'altezza variabile tra 30/40 cm. I cavidotti seguiranno preferenzialmente percorsi interrati lungo la viabilità esistente. Si riporta la sezione di posa tipo conforme alla norma CEI 11-17 :

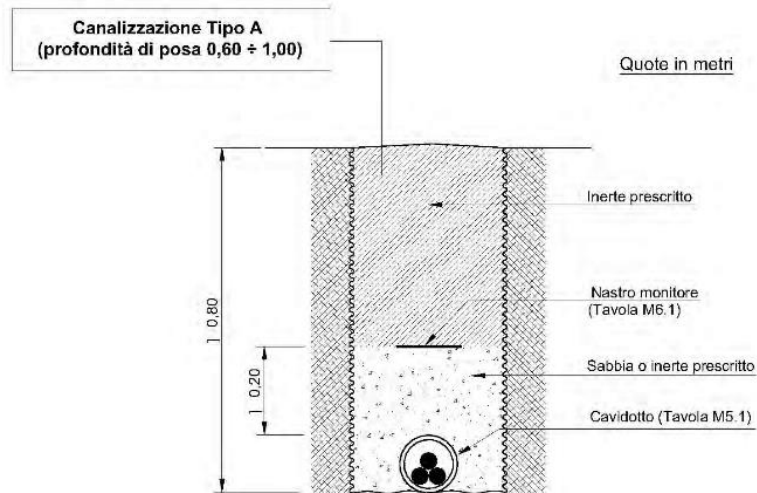


Figura 1: sezione di posa (cavidotto interno)

Nel medesimo scavo sarà posto eventualmente il cavidotto della rete telefonica per la trasmissione dei segnali tra le singole cabine ed il centro di elaborazione e controllo dati, le caratteristiche costruttive saranno simili a quelle dei cavidotti per i cavi MT ad eccezione della profondità che sarà contenuta entro i 60 cm ed il tipo di cavo utilizzato dovrà essere idoneo alla trasmissione dei segnali telefonici.

La sezione tipo di posa dei cavi sarà composta da una base di sabbia in cui verrà annegato il cavo di terra in Cu di almeno 200 mm², i cavi di potenza, il cavo di segnale in fibra ottica posto in tubo PVC corrugato, uno strato di calcestruzzo dello spessore di 10 cm (per gli attraversamenti stradali), un nastro segnalatore e un ultimo strato, a ricoprire lo scavo, di rilevato compattato.

Gli scavi saranno ripristinati con riempimento di terreno granulare per un'altezza di 40 cm dal piano di campagna e successivamente chiuso con terreno vegetale (sarà ripristinato lo stato dei luoghi).

Saranno infine posizionati pozzetti prefabbricati di ispezione in CLS, per la manutenzione della rete elettrica, distanziati tra loro di circa 100 m, in cui collocare le giunzioni dei cavi e i picchetti di terra.

Il percorso del collegamento dei campi fotovoltaici alla SE RTN è stato scelto tenendo conto di molteplici fattori, quali:

- contenere per quanto possibile i tracciati dei cavidotti sia per occupare la minor porzione possibile di territorio, sia per non superare certi limiti di convenienza tecnico-economica;
- evitare per quanto possibile di interessare case sparse ed isolate, rispettando le distanze prescritte dalla normativa vigente;
- Evitare interferenze con zone di pregio naturalistico, paesaggistico e archeologico;
- transitare su aree di minor pregio interessando aree prevalentemente agricole e sfruttando la viabilità esistente per quanto possibile.

L'isolamento sarà garantito mediante guaina termo-restringente.

Il cavo a fibre ottiche per il monitoraggio ed il telecontrollo delle turbine sarà di tipo monomodale e verrà alloggiato all'interno di un tubo corrugato in PVC o in un monotubo in PEAD posto nello stesso scavo del cavo di potenza.

I cavi verranno posati ad una profondità di circa 150 cm, con una placca di protezione in PVC (nei casi in cui non è presente il tubo corrugato) ed un nastro segnalatore.

I cavi verranno posati in una trincea scavata a sezione obbligata che avrà una larghezza variabile compresa tra 50 cm ed 1m(cfr. sezioni tipo cavidotto). La sezione di posa dei cavi sarà variabile a seconda della loro ubicazione in sede stradale o in terreno (cfr. sezioni tipo cavidotto).

Come accennato, nella stessa trincea verranno posati i cavi di energia, la fibra ottica necessaria per la comunicazione.

La posa dei cavi si articolerà nelle seguenti attività:

- scavo a sezione obbligata della larghezza e della profondità precedentemente menzionate;
- posa del cavo di potenza e del dispersore di terra;
- eventuale rinterro parziale con strato di sabbia vagliata;
- posa del tubo contenente il cavo in fibre ottiche;
- posa dei tegoli protettivi;
- rinterro parziale con terreno di scavo;
- posa nastro monitore;
- rinterro complessivo con ripristino della superficie originaria;
- apposizione di paletti di segnalazione presenza cavo.

L'asse del cavo posato nella trincea si scosterà dall'asse della stessa solo di qualche centimetro a destra ed a sinistra, al fine di evitare dannose sollecitazioni dovute all'assestamento del terreno. Durante le operazioni di posa, gli sforzi di tiro applicati ai conduttori non dovranno superare i 60 N/mm² rispetto alla sezione totale. Il raggio di curvatura dei cavi durante le operazioni di installazione non dovrà essere inferiore a 3 m.

Lo schermo metallico dei singoli spezzoni di cavo verrà messo a terra da entrambe le estremità della linea.

In corrispondenza dell'estremità di cavo connesso alla cabina di raccolta, onde evitare il trasferimento di tensioni di contatto pericolose a causa di un guasto sull'alta tensione, la messa a terra dello schermo avverrà solo all'estremità connessa alla stazione di utenza.

La realizzazione delle giunzioni verrà effettuata secondo le seguenti indicazioni:

- prima di tagliare i cavi controllare l'integrità della confezione e l'eventuale presenza di umidità;
- non interrompere mai il montaggio del giunto o del terminale;
- utilizzare esclusivamente materiali contenuti nella confezione.

Ad operazione conclusa saranno applicate delle targhe identificatrici su ciascun giunto in modo da poter individuare l'esecutore, la data e le modalità d'esecuzione.

Su ciascun tronco fra l'ultima turbina e la cabina di raccolta verranno collocati dei giunti di isolamento tra gli schermi dei due diversi impianti di terra (dispersore di terra della stazione elettrica e dispersore di terra dell'impianto eolico). Essi garantiranno la tenuta alla tensione che si può stabilire tra i due schermi dei cavi a 30kV.

Le terminazioni dei cavi in fibra ottica dovranno essere effettuate nella seguente modalità:

- posa del cavo, da terra al relativo cassetto ottico, previa eliminazione della parte eccedente, con fissaggio del cavo o a parete o ad elementi verticali con apposite fascette, ogni 0.50 m circa;
- sbucciatura progressiva del cavo;
- fornitura ed applicazione, su ciascuna fibra ottica, di connettore;
- esecuzione della "lappatura" finale del terminale;
- fissaggio di ciascuna fibra ottica.

Le figure seguenti riportano alcune sezioni tipo del cavidotto:

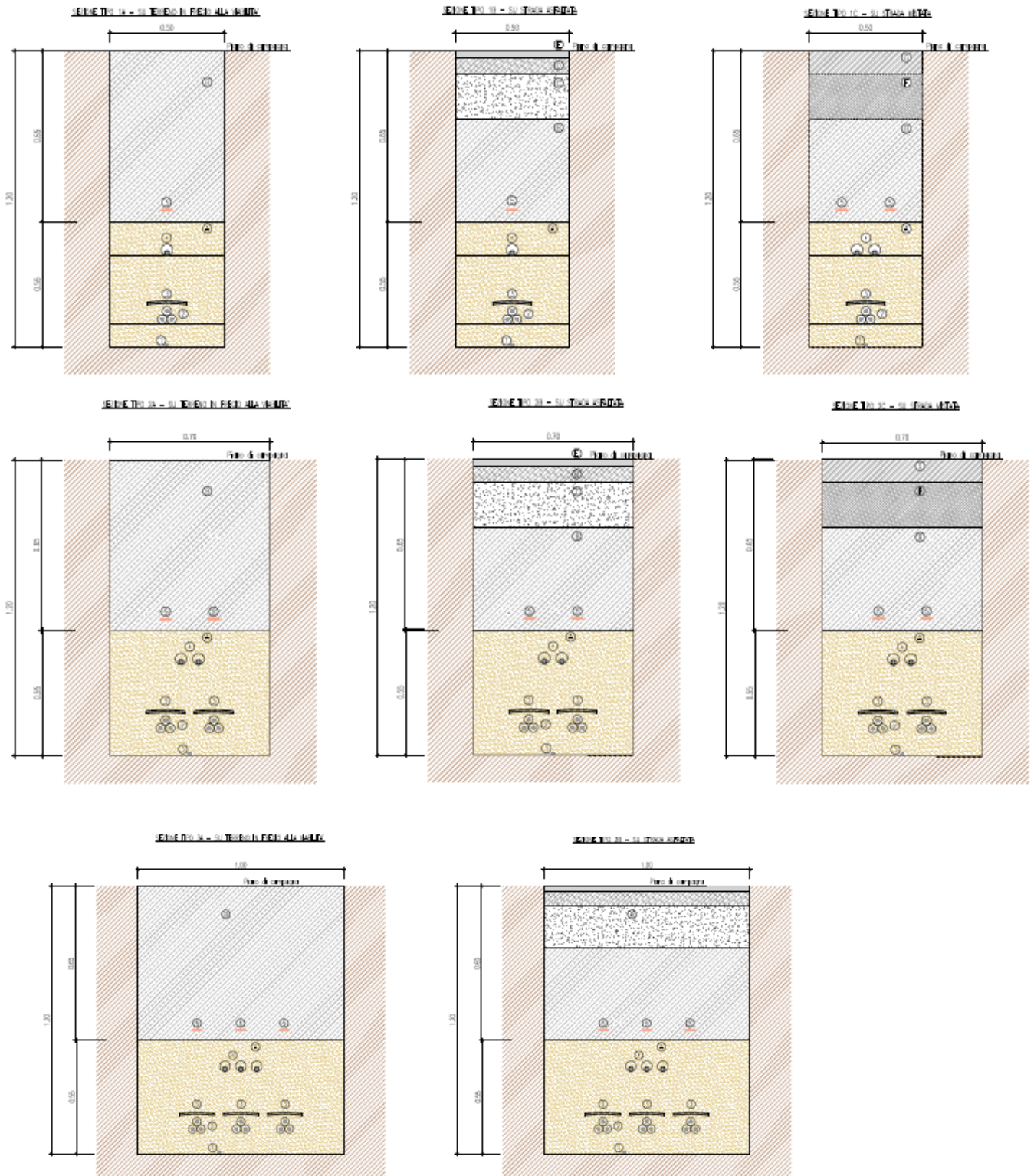


Figura 2: sezioni tipo cavidotti

LEGENDA		
(A) Sabbia \varnothing 0-3 mm	(1) Cavo di terra	(G) Stabilizzato \varnothing 0-25 mm
(B) Rinterro con terreno proveniente dagli scavi	(2) Cavi MT	
(C) Conglomerato bituminoso - Strato di base	(3) Tegolino di protezione	
(D) Conglomerato bituminoso - Strato di collegamento (Bynder)	(4) Fibra ottica in tubazione \varnothing 50	
(E) Strato di usura	(5) Nastro monitore	
(F) Pietrisco \varnothing 70-120 mm	(6) Cavidotto in PEAD SN 8 \varnothing 150	

Figura 3: legenda sezioni cavidotto

4.1 Dimensionamento cavi

4.1.1 Cavi MT

La rete elettrica a 30kV sarà realizzata con posa completamente interrata assicurando il massimo dell'affidabilità e della economia di esercizio.

Per il collegamento delle cabine di campo dei campi fotovoltaici si prevede la realizzazione di linee a 30kV a mezzo di collegamenti del tipo "entra-esce", mediante cavi del tipo ARE4H5EE 20,8/36kV con conduttore in alluminio o cavi del tipo RG7H1M1 18/30kV con conduttore in rame.

Il cavidotto di connessione dell'impianto alla SSE utente 30/150 a 30 kV, di lunghezza totale pari a circa 12 km, sarà realizzato per mezzo di 4 circuiti con cavi del tipo RG7H1M1 18/30kV o equivalenti con conduttore in rame.

L'isolamento sarà garantito mediante guaina termo-restringente.

I cavi verranno posati ad una profondità di circa 120 cm, con una placca di protezione in PVC (nei casi in cui non è presente il tubo corrugato) ed un nastro segnalatore.

I cavi verranno posati in una trincea scavata a sezione obbligata che avrà una larghezza di 50 cm. La sezione di posa dei cavi sarà variabile a seconda della loro ubicazione in sede stradale o in terreno (cfr. sezioni tipo cavidotto).

I cavi AT a 36kV sono stati dimensionati in modo tale da soddisfare la relazioni:

$$I_b \leq I_z$$

$$\Delta V\% \leq 4\%$$

dove:

- I_b è la corrente di impiego del cavo;

- I_z è la portata del cavo, calcolata tenendo conto del tipo di cavo e delle condizioni di posa;
- $\Delta V\%$ è la massima caduta di tensione calcolata a partire dalla cabina di consegna fino all'aerogeneratore più lontano (massima caduta di tensione su ogni sottocampo).

La portata I_z di un cavo con una determinata sezione e isolante è notevolmente influenzata dalle condizioni di installazione. Nella posa interrata la portata può variare in funzione della profondità di posa, della resistività e della temperatura del terreno. Aumentando la profondità di posa, con temperatura del terreno invariata, la portata di un cavo si riduce.

La portata dipende però anche dalla resistività e dalla temperatura del terreno che aumentano verso la superficie, soprattutto nei periodi estivi, vanificando in tal modo i benefici che si possono ottenere a profondità di posa minori.

La portata di un cavo interrato diminuisce anche in caso di promiscuità con altre condutture elettriche e l'influenza termica tra i cavi aumenta sensibilmente se sono posati in terra piuttosto che in aria.

Per il calcolo della portata ci si riferisce alla tabella CEI UNEL 35027 fasc. 9738 "Cavi di energia per tensione nominale U da 1 kV a 30 kV. Portata di corrente in regime permanente – Posa in aria ed interrata". Dalla norma viene fornita la formula per il calcolo della portata effettiva I_z che può essere ricavata, a partire dalla corrente I_0 , tenendo conto di opportuni coefficienti di correzione relativi a condizioni di posa diverse da quelle di riferimento.

$$I_z = I_0 \times k$$

Dove:

I_0 = portata per posa interrata per cavi di tipo ARE4H5EE con resistività terreno 1,5 K m/W;

k = prodotto di opportuni coefficienti di correzione, ovvero:

K_{tt} = fattore di correzione per posa interrata e temperature diverse da 20 °C;

K_d = fattore di correzione per spaziatura tra cavi tripolari pari a 250 mm;

K_p = fattore di correzione per profondità di posa diversi da 0.8 m (cavi direttamente interrati);

K_r = fattore di correzione per valori di resistività termica diversa da 1,5 Km/W.

Tanto più elevata è la resistività termica del terreno tanto maggiore diventa la difficoltà del cavo a smaltire il calore attraverso gli strati del terreno. La resistività termica varia a seconda del tipo di terreno e del suo grado di umidità.

Si riportano di seguito le tabelle riepilogative dei principali cavi MT previsti in progetto:

Tabella 3 – CAVI MT CAMPO 1

CIRCUITO			CAMPO 1 - CAVI MT					
			MV 1.a	MV 1.b	MV 1.c	MV 1.d	MV 01	
			RAME RG7H1M1 18/30kV	ALLUMINIO ARE4H5EE 20,8/36kV	ALLUMINIO ARE4H5EE 20,8/36kV	ALLUMINIO ARE4H5EE 20,8/36kV	RAME RG7H1M1 18/30kV	
TIPO CAVO								
Tensione trasporto	Vn	KV	30	30	30	30	30	
	Cosfi		0,9	0,9	0,9	0,9	0,9	
	Sinfi	sì	0,4	0,4	0,4	0,4	0,4	
Potenza nominale	Pn	MW	9,60	6,30	3,00	9,60	12,90	
Corrente di impiego	I _b	A	205,28	134,72	64,15	205,28	275,85	
sezione cavo	S	mm ²	95	120	120	120	120	
Lunghezza linea	L	m	12	614	159	736	555	
Resistenza della linea	R _L	Ω / km	0,193	0,253	0,253	0,253	0,153	
Reattanza della linea	X _L	Ω / km	0,120	0,132	0,132	0,132	0,120	
Caduta di tensione	ΔV	V	1,0	40,9	5,0	74,6	50,4	
	ΔV	%	0,00%	0,14%	0,02%	0,25%	0,17%	
PORTATA			VERIFICATO	VERIFICATO	VERIFICATO	VERIFICATO	VERIFICATO	
Materiale isolamento			EPR	EPR	EPR	EPR	EPR	
Portata nominale	I ₀	A	339	253	253	253	387	
Temperatura terreno	T	°C	25	25	25	25	25	

CIRCUITO			CAMPO 1 - CAVI MT					
			MV 1.a	MV 1.b	MV 1.c	MV 1.d	MV 01	
			RAME RG7H1M1 18/30kV	ALLUMINIO ARE4H5EE 20,8/36kV	ALLUMINIO ARE4H5EE 20,8/36kV	ALLUMINIO ARE4H5EE 20,8/36kV	RAME RG7H1M1 18/30kV	
TIPO CAVO								
terne		nr	2	2	2	2	2	2
distanza		m	0,25	0,25	0,25	0,25	0,25	0,25
Profondità di posa		m	1,0	1,0	1,0	1,0	1,0	1,0
Resistività termica		K*m/W	1,5	1,5	1,5	1,5	1,5	1,5
Fattori di correzione								
K1	kt		0,94	0,94	0,94	0,94	0,94	0,94
K2	kd		0,92	0,92	0,92	0,92	0,92	0,92
K3	kp		0,97	0,97	0,97	0,97	0,97	0,97
K4	kr		1	1	1	1	1	1
Portata cavo	I_z	A	284	212	212	212	212	325

Tabella 4 – CAVI MT CAMPO 2

CIRCUITO			CAMPO 2 - CAVI MT					
			MV 2.a	MV 2.b	MV 2.c	MV 2.d	MV 02	
			ALLUMINIO ARE4H5EE 20,8/36kV	ALLUMINIO ARE4H5EE 20,8/36kV	ALLUMINIO ARE4H5EE 20,8/36kV	ALLUMINIO ARE4H5EE 20,8/36kV	RAME RG7H1M1 18/30kV	
TIPO CAVO								
Tensione trasporto	Vn	KV	30	30	30	30	30	30
	Cosfi		0,9	0,9	0,9	0,9	0,9	0,9

CIRCUITO			CAMPO 2 - CAVI MT				
			MV 2.a	MV 2.b	MV 2.c	MV 2.d	MV 02
			ALLUMINIO ARE4H5EE 20,8/36kV	ALLUMINIO ARE4H5EE 20,8/36kV	ALLUMINIO ARE4H5EE 20,8/36kV	ALLUMINIO ARE4H5EE 20,8/36kV	RAME RG7H1M1 18/30kV
TIPO CAVO							
	Sinfi	sì	0,4	0,4	0,4	0,4	0,4
Potenza nominale	Pn	MW	8,80	4,90	1,00	8,80	10,90
Corrente di impiego	I _b	A	188,17	104,78	21,38	188,17	233,08
sezione cavo	S	mm ²	120	120	120	120	120
Lunghezza linea	L	m	121	13	742	836	708
Resistenza della linea	R _L	Ω / km	0,253	0,253	0,253	0,253	0,153
Reattanza della linea	X _L	Ω / km	0,132	0,132	0,132	0,132	0,120
Caduta di tensione	ΔV	V	11,3	0,7	7,8	77,7	54,3
	ΔV	%	0,04%	0,00%	0,03%	0,26%	0,18%
PORTATA			VERIFICATO	VERIFICATO	VERIFICATO	VERIFICATO	VERIFICATO
Materiale isolamento			EPR	EPR	EPR	EPR	EPR
Portata nominale	I ₀	A	253	253	253	253	387
Temperatura terreno	T	°C	25	25	25	25	25
terne		nr	2	2	2	2	2
distanza		m	0,25	0,25	0,25	0,25	0,25
Profondità di posa		m	1,0	1,0	1,0	1,0	1,2
Resistività termica		K*m/W	1,5	1,5	1,5	1,5	1,5

CIRCUITO			CAMPO 2 - CAVI MT				
			MV 2.a	MV 2.b	MV 2.c	MV 2.d	MV 02
			ALLUMINIO ARE4H5EE 20,8/36kV	ALLUMINIO ARE4H5EE 20,8/36kV	ALLUMINIO ARE4H5EE 20,8/36kV	ALLUMINIO ARE4H5EE 20,8/36kV	RAME RG7H1M1 18/30kV
TIPO CAVO							
Fattori di correzione							
K1	kt		0,94	0,94	0,94	0,94	0,94
K2	kd		0,92	0,92	0,92	0,92	0,92
K3	kp		0,97	0,97	0,97	0,97	0,95
K4	kr		1	1	1	1	1
Portata cavo	I_z	A	212	212	212	212	318

Tabella 5 – CAVI MT CAMPO 3

CIRCUITO			CAMPO 3 - CAVI MT						
			MV 3.a	MV 3.b	MV 3.c	MV 3.d	MV 3.e	MV 3.f	MV 03
			RAME RG7H1M1 18/30kV	ALLUMINIO ARE4H5EE 20,8/36kV	ALLUMINIO ARE4H5EE 20,8/36kV	ALLUMINIO ARE4H5EE 20,8/36kV	ALLUMINIO ARE4H5EE 20,8/36kV	RAME RG7H1M1 18/30kV	RAME RG7H1M1 18/30kV
TIPO CAVO									
Tensione trasporto	Vn	KV	30	30	30	30	30	30	
	Cosfi		0,9	0,9	0,9	0,9	0,9	0,9	
	Sinfi	si	0,4	0,4	0,4	0,4	0,4	0,4	
Potenza nominale	Pn	MW	18,00	14,40	10,80	7,20	3,60	21,60	
Corrente di impiego	I_b	A	384,90	307,92	230,94	153,96	76,98	461,88	

CIRCUITO			CAMPO 3 - CAVI MT						
			MV 3.a	MV 3.b	MV 3.c	MV 3.d	MV 3.e	MV 3.f	MV 03
			RAME RG7H1M1 18/30kV	ALLUMINIO ARE4H5EE 20,8/36kV	ALLUMINIO ARE4H5EE 20,8/36kV	ALLUMINIO ARE4H5EE 20,8/36kV	ALLUMINIO ARE4H5EE 20,8/36kV	RAME RG7H1M1 18/30kV	RAME RG7H1M1 18/30kV
TIPO CAVO									
sezione cavo	S	mm ²	185	240	150	95	95	185	400
Lunghezza linea	L	m	366	180	125	172	322	1 010	1 627
Resistenza della linea	R _L	Ω / km	0,099	0,125	0,206	0,320	0,320	0,099	0,047
Reattanza della linea	X _L	Ω / km	0,110	0,116	0,127	0,138	0,138	0,110	0,099
Caduta di tensione	ΔV	V	33,5	15,6	12,0	16,0	15,0	92,3	111,2
	ΔV	%	0,11%	0,05%	0,04%	0,05%	0,05%	0,31%	0,37%
PORTATA			VERIFICATO	VERIFICATO	VERIFICATO	VERIFICATO	VERIFICATO	VERIFICATO	VERIFICATO
Materiale isolamento			EPR	EPR	EPR	EPR	EPR	EPR	EPR
Portata nominale	I ₀	A	489	370	282	223	223	489	725
Temperatura terreno	T	°C	25	25	25	25	25	25	25
terne		nr	2	2	2	2	2	2	4
distanza		m	0,25	0,25	0,25	0,25	0,25	0,25	0,25
Profondità di posa		m	1,0	1,0	1,0	1,0	1,0	1,0	1,2
Resistività termica		K*m/W	1,5	1,5	1,5	1,5	1,5	1,5	1,5
Fattori di correzione									
K1	kt		0,94	0,94	0,94	0,94	0,94	0,94	0,94
K2	kd		0,92	0,92	0,92	0,92	0,92	0,92	0,80

CIRCUITO			CAMPO 3 - CAVI MT						
			MV 3.a	MV 3.b	MV 3.c	MV 3.d	MV 3.e	MV 3.f	MV 03
TIPO CAVO			RAME RG7H1M1 18/30kV	ALLUMINIO ARE4H5EE 20,8/36kV	ALLUMINIO ARE4H5EE 20,8/36kV	ALLUMINIO ARE4H5EE 20,8/36kV	ALLUMINIO ARE4H5EE 20,8/36kV	RAME RG7H1M1 18/30kV	RAME RG7H1M1 18/30kV
K3	kp		0,97	0,97	0,97	0,97	0,97	0,97	0,95
K4	kr		1	1	1	1	1	1	1
Portata cavo	I_z	A	410	310	237	187	187	410	518

Tabella 6 – CAVI MT CAMPO 4

CIRCUITO			CAMPO 4 - CAVI MT				
			MV 4.a	MV 4.b	MV 4.c	MV 4.d	MV 04
TIPO CAVO			ALLUMINIO ARE4H5EE 20,8/36kV	ALLUMINIO ARE4H5EE 20,8/36kV	ALLUMINIO ARE4H5EE 20,8/36kV	ALLUMINIO ARE4H5EE 20,8/36kV	RAME RG7H1M1 18/30kV
Tensione trasporto	Vn	KV	30	30	30	30	30
	Cosfi		0,9	0,9	0,9	0,9	0,9
	Sinfi	si	0,4	0,4	0,4	0,4	0,4
Potenza nominale	Pn	MW	11,70	7,80	3,90	11,70	15,60
Corrente di impiego	I_b	A	250,19	166,79	83,40	250,19	333,58
sezione cavo	S	mm ²	185	95	95	185	185
Lunghezza linea	L	m	269	521	179	456	2 679
Resistenza della linea	R_L	Ω / km	0,164	0,320	0,320	0,164	0,099

CIRCUITO			CAMPO 4 - CAVI MT				
			MV 4.a	MV 4.b	MV 4.c	MV 4.d	MV 04
			ALLUMINIO ARE4H5EE 20,8/36kV	ALLUMINIO ARE4H5EE 20,8/36kV	ALLUMINIO ARE4H5EE 20,8/36kV	ALLUMINIO ARE4H5EE 20,8/36kV	RAME RG7H1M1 18/30kV
TIPO CAVO							
Reattanza della linea	X_L	Ω / km	0,122	0,138	0,138	0,122	0,110
Caduta di tensione	ΔV	V	23,4	52,4	9,0	39,7	212,3
	ΔV	%	0,08%	0,17%	0,03%	0,13%	0,71%
PORTATA			VERIFICATO	VERIFICATO	VERIFICATO	VERIFICATO	VERIFICATO
Materiale isolamento			EPR	EPR	EPR	EPR	EPR
Portata nominale	I_0	A	320	223	223	320	489
Temperatura terreno	T	°C	25	25	25	25	25
terne		nr	2	2	2	2	4
distanza		m	0,25	0,25	0,25	0,25	0,25
Profondità di posa		m	1,0	1,0	1,0	1,0	1,2
Resistività termica		K*m/W	1,5	1,5	1,5	1,5	1,5
Fattori di correzione							
K1	kt		0,94	0,94	0,94	0,94	0,94
K2	kd		0,92	0,92	0,92	0,92	0,80
K3	kp		0,97	0,97	0,97	0,97	0,95
K4	kr		1	1	1	1	1
Portata cavo	I_z	A	268	187	187	268	349

Tabella 7 – CAVI MT CAMPO 5

CIRCUITO			CAMP 5 - CAVI MT				
			MV 5.a	MV 5.b	MV 5.c	MV 5.d	MV 05
			ALLUMINIO ARE4H5EE 20,8/36kV	ALLUMINIO ARE4H5EE 20,8/36kV	ALLUMINIO ARE4H5EE 20,8/36kV	ALLUMINIO ARE4H5EE 20,8/36kV	RAME RG7H1M1 18/30kV
TIPO CAVO							
Tensione trasporto	Vn	KV	30	30	30	30	30
	Cosfi		0,9	0,9	0,9	0,9	0,9
	Sinfi	si	0,4	0,4	0,4	0,4	0,4
Potenza nominale	Pn	MW	12,60	8,40	4,20	12,60	16,80
Corrente di impiego	I _b	A	269,43	179,62	89,81	269,43	359,24
sezione cavo	S	mm ²	240	95	95	240	240
Lunghezza linea	L	m	106	449	109	600	3 289
Resistenza della linea	R _L	Ω / km	0,125	0,320	0,320	0,125	0,075
Reattanza della linea	X _L	Ω / km	0,116	0,138	0,138	0,116	0,100
Caduta di tensione	ΔV	V	8,1	48,6	5,9	45,7	228,1
	ΔV	%	0,03%	0,16%	0,02%	0,15%	0,76%
PORTATA			VERIFICATO	VERIFICATO	VERIFICATO	VERIFICATO	VERIFICATO
Materiale isolamento			EPR	EPR	EPR	EPR	EPR
Portata nominale	I ₀	A	370	223	223	370	567
Temperatura terreno	T	°C	25	25	25	25	25

CIRCUITO			CAMP 5 - CAVI MT				
			MV 5.a	MV 5.b	MV 5.c	MV 5.d	MV 05
			ALLUMINIO ARE4H5EE 20,8/36kV	ALLUMINIO ARE4H5EE 20,8/36kV	ALLUMINIO ARE4H5EE 20,8/36kV	ALLUMINIO ARE4H5EE 20,8/36kV	RAME RG7H1M1 18/30kV
TIPO CAVO							
terne		nr	2	2	2	2	4
distanza		m	0,25	0,25	0,25	0,25	0,25
Profondità di posa		m	1,0	1,0	1,0	1,0	1,2
Resistività termica		K*m/W	1,5	1,5	1,5	1,5	1,5
Fattori di correzione							
K1	kt		0,94	0,94	0,94	0,94	0,94
K2	kd		0,92	0,92	0,92	0,92	0,80
K3	kp		0,97	0,97	0,97	0,97	0,95
K4	kr		1	1	1	1	1
Portata cavo	I _z	A	310	187	187	310	405

Tabella 8 – CAVI MT CAMPO 6

CIRCUITO			CAMPO 6 - CAVI MT				
			MV 6.a	MV 6.b	MV 6.c	MV 6.d	MV 06
			ALLUMINIO ARE4H5EE 20,8/36kV	ALLUMINIO ARE4H5EE 20,8/36kV	ALLUMINIO ARE4H5EE 20,8/36kV	ALLUMINIO ARE4H5EE 20,8/36kV	RAME RG7H1M1 18/30kV
TIPO CAVO							
Tensione trasporto	Vn	KV	30	30	30	30	30
	Cosfi		0,9	0,9	0,9	0,9	0,9

CIRCUITO			CAMPO 6 - CAVI MT				
			MV 6.a	MV 6.b	MV 6.c	MV 6.d	MV 06
			ALLUMINIO ARE4H5EE 20,8/36kV	ALLUMINIO ARE4H5EE 20,8/36kV	ALLUMINIO ARE4H5EE 20,8/36kV	ALLUMINIO ARE4H5EE 20,8/36kV	RAME RG7H1M1 18/30kV
TIPO CAVO							
	Sinfi	sì	0,4	0,4	0,4	0,4	0,4
Potenza nominale	Pn	MW	12,60	8,40	4,20	12,60	15,30
Corrente di impiego	I _b	A	269,43	179,62	89,81	269,43	327,17
sezione cavo	S	mm ²	240	95	95	240	240
Lunghezza linea	L	m	267	305	205	743	5 609
Resistenza della linea	R _L	Ω / km	0,125	0,320	0,320	0,125	0,075
Reattanza della linea	X _L	Ω / km	0,116	0,138	0,138	0,116	0,100
Caduta di tensione	ΔV	V	20,3	33,0	11,1	56,5	354,3
	ΔV	%	0,07%	0,11%	0,04%	0,19%	1,18%
PORTATA			VERIFICATO	VERIFICATO	VERIFICATO	VERIFICATO	VERIFICATO
Materiale isolamento			EPR	EPR	EPR	EPR	EPR
Portata nominale	I ₀	A	370	223	223	370	567
Temperatura terreno	T	°C	25	25	25	25	25
terne		nr	2	2	2	2	4
distanza		m	0,25	0,25	0,25	0,25	0,25
Profondità di posa		m	1,0	1,0	1,0	1,0	1,2
Resistività termica		K*m/W	1,5	1,5	1,5	1,5	1,5

CIRCUITO			CAMPO 6 - CAVI MT				
			MV 6.a	MV 6.b	MV 6.c	MV 6.d	MV 06
			ALLUMINIO ARE4H5EE 20,8/36kV	ALLUMINIO ARE4H5EE 20,8/36kV	ALLUMINIO ARE4H5EE 20,8/36kV	ALLUMINIO ARE4H5EE 20,8/36kV	RAME RG7H1M1 18/30kV
TIPO CAVO							
Fattori di correzione							
K1	kt		0,94	0,94	0,94	0,94	0,94
K2	kd		0,92	0,92	0,92	0,92	0,80
K3	kp		0,97	0,97	0,97	0,97	0,95
K4	kr		1	1	1	1	1
Portata cavo	I_z	A	310	187	187	310	405

Tabella 9 – CAVI MT CAMPO 7

CIRCUITO			CAMPO 7 - CAVI MT			
			MV 7.a	MV 7.b	MV 7.c	MV 07
			ALLUMINIO ARE4H5EE 20,8/36kV	ALLUMINIO ARE4H5EE 20,8/36kV	ALLUMINIO ARE4H5EE 20,8/36kV	RAME RG7H1M1 18/30kV
TIPO CAVO						
Tensione trasporto	Vn	KV	30	30	30	30
	Cosfi		0,9	0,9	0,9	0,9
	Sinfi	sì	0,4	0,4	0,4	0,4
Potenza nominale	Pn	MW	6,60	3,30	6,60	9,90
Corrente di impiego	I _b	A	141,13	70,57	141,13	211,70

CIRCUITO			CAMPO 7 - CAVI MT			
			MV 7.a	MV 7.b	MV 7.c	MV 07
TIPO CAVO			ALLUMINIO ARE4H5EE 20,8/36kV	ALLUMINIO ARE4H5EE 20,8/36kV	ALLUMINIO ARE4H5EE 20,8/36kV	RAME RG7H1M1 18/30kV
sezione cavo	S	mm ²	185	185	185	185
Lunghezza linea	L	m	520	156	442	6 692
Resistenza della linea	R _L	Ω / km	0,164	0,164	0,164	0,099
Reattanza della linea	X _L	Ω / km	0,122	0,122	0,122	0,110
Caduta di tensione	ΔV	V	25,5	3,8	21,7	336,5
	ΔV	%	0,09%	0,01%	0,07%	1,12%
PORTATA			VERIFICATO	VERIFICATO	VERIFICATO	VERIFICATO
Materiale isolamento			EPR	EPR	EPR	EPR
Portata nominale	I ₀	A	320	320	320	489
Temperatura terreno	T	°C	25	25	25	25
terne		nr	2	2	2	4
distanza		m	0,25	0,25	0,25	0,25
Profondità di posa		m	1,0	1,0	1,0	1,2
Resistività termica		K*m/W	1,5	1,5	1,5	1,5
Fattori di correzione						
K1	kt		0,94	0,94	0,94	0,94
K2	kd		0,92	0,92	0,92	0,80

CIRCUITO			CAMPO 7 - CAVI MT			
			MV 7.a	MV 7.b	MV 7.c	MV 07
			ALLUMINIO ARE4H5EE 20,8/36kV	ALLUMINIO ARE4H5EE 20,8/36kV	ALLUMINIO ARE4H5EE 20,8/36kV	RAME RG7H1M1 18/30kV
TIPO CAVO						
K3	kp		0,97	0,97	0,97	0,95
K4	kr		1	1	1	1
Portata cavo	I_z	A	268	268	268	349

Tabella 10 – CAVI MT – CIRCUITI COLLEGAMENTO SSE 30/150

CIRCUITO			CAVI MT			
			Ext 1	Ext 2	Ext 3	Ext 4
			RAME RG7H1M1 18/30kV	RAME RG7H1M1 18/30kV	RAME RG7H1M1 18/30kV	RAME RG7H1M1 18/30kV
TIPO CAVO						
Tensione trasporto	Vn	KV	30	30	30	30
	Cosfi		0,9	0,9	0,9	0,9
	Sinfi	sì	0,4	0,4	0,4	0,4
Potenza nominale	Pn	MW	28,20	26,50	21,60	26,70
Corrente di impiego	I _b	A	603,01	566,66	461,88	570,94
sezione cavo	S	mm ²	630	500	400	500
Lunghezza linea	L	m	11 693	11 693	11 693	11 693
Resistenza della linea	R _L	Ω / km	0,028	0,037	0,047	0,037

CIRCUITO			CAVI MT			
			Ext 1	Ext 2	Ext 3	Ext 4
			RAME RG7H1M1 18/30kV	RAME RG7H1M1 18/30kV	RAME RG7H1M1 18/30kV	RAME RG7H1M1 18/30kV
TIPO CAVO						
Reattanza della linea	X_L	Ω / km	0,096	0,095	0,099	0,095
Caduta di tensione	ΔV	V	822,1	853,3	799,4	859,7
	ΔV	%	2,74%	2,84%	2,66%	2,87%
PORTATA			VERIFICATO	VERIFICATO	VERIFICATO	VERIFICATO
Materiale isolamento			EPR	EPR	EPR	EPR
Portata nominale	I_0	A	923	820	725	820
Temperatura terreno	T	°C	25	25	25	25
terne		nr	4	4	4	4
distanza		m	0,25	0,25	0,25	0,25
Profondità di posa		m	1,2	1,2	1,2	1,2
Resistività termica		K*m/W	1,5	1,5	1,5	1,5
Fattori di correzione						
K1	kt		0,94	0,94	0,94	0,94
K2	kd		0,80	0,80	0,80	0,80
K3	kp		0,95	0,95	0,95	0,95
K4	kr		1	1	1	1
Portata cavo	I_z	A	659	586	518	586

5 Valutazione dei campi elettrici e campi magnetici a bassa frequenza (ELF)

Per quanto riguarda il campo elettromagnetico generato dalle singole apparecchiature installate nelle cabine, non esistendo un modello matematico che permetta il calcolo preventivo, si sottolinea che tutte le apparecchiature installate rispetteranno i requisiti di legge e tutte le normative tecniche riguardo la compatibilità e le emissioni elettromagnetiche.

In materia di inquinamento elettromagnetico, una delle problematiche più studiate è certamente quella concernente l'esposizione ai campi elettrici e magnetici dispersi nell'ambiente dalle linee di trasporto e di distribuzione dell'energia elettrica, la cui frequenza (50 Hz in Europa) rientra nella cosiddetta banda ELF (30 – 300Hz). I campi ELF, contraddistinti da frequenze estremamente basse, sono caratterizzabili mediante la semplificazione delle equazioni di Maxwell dei "campi elettromagnetici quasi statici" e quindi da due entità distinte:

- il campo elettrico, generato dalla presenza di cariche elettriche o tensioni e quindi direttamente proporzionale al valore della tensione di linea;
- il campo magnetico, generato invece dalle correnti elettriche.

In generale gli elettrodotti generano sia un **campo elettrico** che un **campo magnetico**.

Il campo elettrico è legato in maniera direttamente proporzionale alla tensione della sorgente; esso si attenua, allontanandosi da un elettrodotto, in maniera inversamente proporzionale alla distanza dai conduttori.

Poiché i valori delle tensioni di linea variano poco con le correnti che le attraversano, l'intensità del campo elettrico può considerarsi, in prima approssimazione, costante.

La presenza di alberi, oggetti conduttori o edifici in prossimità delle linee riduce l'intensità del campo elettrico e, in particolare all'interno degli edifici si possono misurare intensità di campo fino a 10 (anche 100) volte inferiori a quelle rilevabili all'esterno.

L'intensità del campo magnetico generato in corrispondenza di un elettrodotto dipende invece dall'intensità della corrente circolante nel conduttore; tale flusso risulta estremamente variabile sia nell'arco di una giornata sia in base alla stagione. Non c'è alcun effetto schermante nei confronti dei campi magnetici da parte di edifici, alberi o altri oggetti vicini alla linea, quindi, all'interno di eventuali edifici circostanti si può misurare un campo magnetico di intensità comparabile a quello riscontrabile all'esterno.

È noto che sia il campo elettrico che il campo magnetico decadono all'aumentare della distanza dalla linea elettrica, ma mentre il campo elettrico è facilmente schermabile da oggetti quali legno, metallo, ma anche alberi ed edifici, il campo magnetico non è schermabile dalla maggior parte dei materiali di uso comune. L'analisi del campo elettromagnetico generato dai conduttori e la valutazione relativa ai vari componenti dell'impianto fa riferimento ai limiti previsti dall'applicazione del D.M. 20 Maggio 2008 con riferimento al D.P.C.M. del 8 Luglio 2003.

L'analisi dell'impatto elettromagnetico effettuata nel seguito analizza sia le scelte effettuate sia individua lungo il tracciato dei conduttori, in prossimità delle cabine di trasformazione e dei quadri elettrici, le fasce di rispetto (DPA) coerentemente a quanto richiesto dalla norma.

5.1 Definizioni e unità di misura

Quando si parla di campi elettromagnetici a bassa frequenza ci si riferisce a quei campi compresi

nell'intervallo 0 Hz e 3 kHz. In questo studio ci riferiamo ai campi a frequenza industriale generati dall'utilizzo dell'energia elettrica alla frequenza di 50 Hz: la frequenza della rete elettrica.

Tabella 11: intervalli di frequenza

SORGENTI	INTERVALLI DI FREQUENZA
Elettrodotti, stazioni di trasformazione e tutte le apparecchiature funzionanti a frequenza industriale	0Hz – 10 kHz
Forni ad induzione	10 kHz – 30 kHz
Riscaldatori ad induzione, schermi video e trasmettitori in AM	30 kHz – 300 kHz
Riscaldatori a radiofrequenza	3 MHz – 30 MHz
Trasmettitori in FM e Televisione	30 MHz – 300 MHz
Radiomobile, telefoni cellulari, fomi a microonde	300 MHz – 3 GHz
Ponti radio	3 GHz – 30 GHz
Radar	30 GHz – 300 GHz

Sorgenti di campi ELF sono le linee elettriche per il trasporto e la distribuzione dell'energia elettrica e gli impianti per la trasformazione di tale energia nonché tutte quelle applicazioni alimentate a corrente elettrica di uso medico, industriale, civile e domestico (elettrodomestici).

Come detto sopra un cavidotto genera, con andamento radiale rispetto ai cavi, un campo elettromagnetico dovuto al passaggio della corrente.

5.2 Valori di induzione magnetica generati da un filo isolato

Il campo elettrico (E) dipende principalmente dalla tensione a cui funziona la sorgente. La sua intensità viene espressa in Volt per metro (V/m).

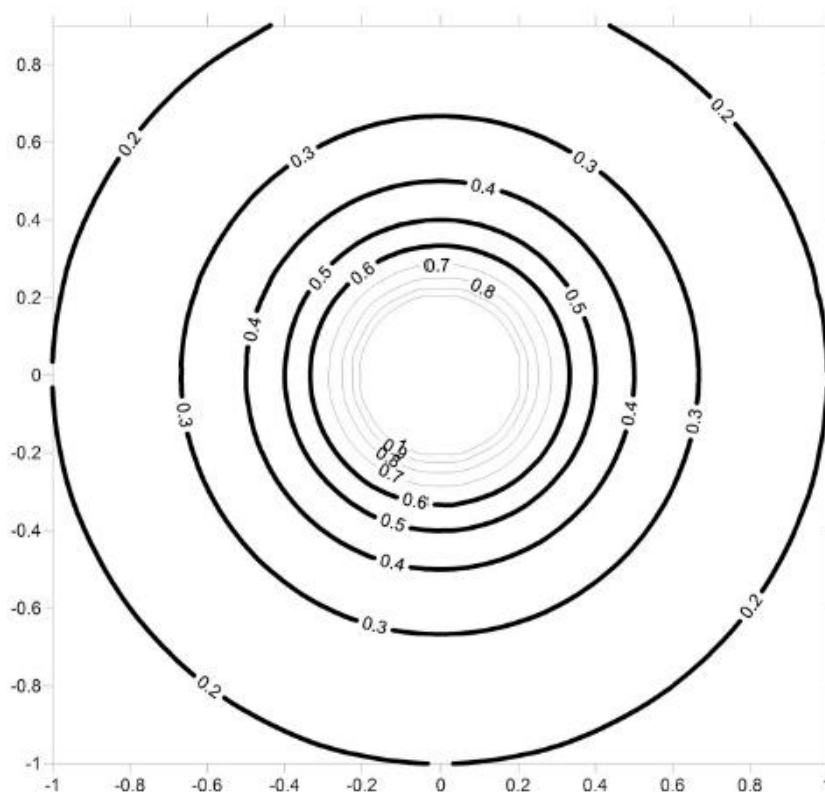


Figura 4: Valori di induzione magnetica generati da un filo isolato

Il campo d'induzione magnetica (B) dipende principalmente dalla corrente che attraversa il cavo. La sua intensità si misura in tesla (T) e nei suoi sottomultipli il millitesla (mT) un millesimo di tesla, il microtesla (μT) un milionesimo di tesla.

Inoltre si definiscono:

- **esposizione**, la condizione di una persona soggetta a campi elettrici, magnetici ed elettromagnetici di origine artificiale;
- **limite di esposizione**, il valore di campo elettrico, magnetico ed elettromagnetico, considerato come valore definito ai fini della tutela della salute da effetti acuti;
- **valore di attenzione**, valore di campo elettrico, magnetico ed elettromagnetico, che non deve essere superato negli ambienti abitativi, scolastici, e nei luoghi adibiti a permanenze prolungate;
- **obiettivi di qualità**, valori di campo elettrico, magnetico ed elettromagnetico, definito ai fini della progressiva minimizzazione dell'esposizione ai campi elettromagnetici.

5.3 Valori limite

Il citato D.P.C.M. 8 luglio 2003 fissa i limiti di esposizione e i valori di attenzione, per la protezione della popolazione dall'esposizioni ai campi elettrici e magnetici alla frequenza di rete (50 Hz) connessi al funzionamento ed all'esercizio degli elettrodotti, in particolare:

- **art. 3 comma 1**: nel caso di esposizione a campi elettrici e magnetici alla frequenza di 50 Hz generati da elettrodotti, non deve essere superato il limite di esposizione di 100 μT per l'induzione magnetica e 5 kV/m per il campo elettrico, intesi come valori efficaci;
- **art. 3 comma 2**: a titolo di misura di cautela per la protezione da possibili effetti a lungo termine, eventualmente connessi con l'esposizione ai campi magnetici generati alla frequenza di rete (50 Hz), nelle aree gioco per l'infanzia, in ambienti abitativi, in ambienti scolastici e nei luoghi adibiti a permanenze non inferiori a quattro ore giornaliere, si assume per l'induzione magnetica il valore di attenzione di 10 μT , da intendersi come mediana dei valori nell'arco delle 24 ore nelle normali condizioni di esercizio;
- **art. 4 comma 1**: nella progettazione di nuovi elettrodotti in corrispondenza di aree gioco per l'infanzia, di ambienti abitativi, di ambienti scolastici e di luoghi adibiti a permanenze non inferiori a quattro ore e nella progettazione dei nuovi insediamenti e delle nuove aree di cui sopra in prossimità di linee ed installazioni elettriche già presenti nel territorio, ai fini della progressiva minimizzazione dell'esposizione ai campi elettrici e magnetici generati dagli elettrodotti operanti alla frequenza di 50 Hz, è fissato l'obiettivo di qualità di 3 μT per il valore dell'induzione magnetica, da intendersi come mediana dei valori nell'arco delle 24 ore nelle normali condizioni di esercizio.

Lo stesso DPCM, all'art 6, fissa i parametri per la determinazione delle fasce di rispetto degli elettrodotti, per le quali si dovrà fare riferimento all'obiettivo di qualità (**B = 3 μT**) di cui all'art. 4 sopra richiamato ed alla portata della corrente in servizio normale. L'allegato al Decreto 29.05.2008 definisce quale fascia di rispetto lo spazio circostante l'elettrodotto, che comprende tutti i punti al di sopra e al di sotto del livello del suolo, caratterizzati da un'induzione magnetica di intensità maggiore o uguale all'obiettivo di qualità. Ai fini del calcolo della fascia di rispetto si omettono verifiche del campo elettrico, in quanto nella pratica questo determinerebbe una fascia (basata sul limite di esposizione, nonché valore

di attenzione pari a 5 kV/m) che risulta sempre inferiore a quella fornita dal calcolo dell'induzione magnetica. **Pertanto, nei successivi paragrafi sono state calcolate le fasce di rispetto dagli elettrodotti del progetto in esame, facendo riferimento al limite di qualità di 3 μ T.**

Alla frequenza di 50 Hz il campo elettrico (misurato in V/m) e quello magnetico (misurato in T) possono essere considerati disaccoppiati, e analizzati, dal punto di vista fisico-matematico, separatamente.

Per sua natura il corpo umano (costante dielettrica molto diversa da quella dell'aria) possiede capacità schermanti nei confronti del campo elettrico. Il campo elettrico quindi ha, per i valori di campo generato da qualsiasi installazione elettrica convenzionale, effetti del tutto trascurabili (solo in prossimità di linee AT a 400 kV, tensione non raggiunta in Italia in nessuna linea di trasmissione AT, si raggiungono valori di 4 kV/m prossimi al limite di legge per zone frequentate, valore che si abbatta esponenzialmente all'aumentare della distanza dal conduttore. Il campo elettrico risulta proporzionale alla tensione del circuito considerato.

Viceversa, il corpo umano presenta una permeabilità magnetica sostanzialmente simile a quella dell'aria, per cui non presenta grandi capacità schermanti contro il campo magnetico, il quale lo attraversa completamente rendendo i suoi effetti più pericolosi di quelli del campo elettrico. Il campo magnetico è proporzionale al valore di corrente che circola nei conduttori elettrici ed i valori di corrente che si possono avere nelle ordinarie installazioni elettriche possono generare campi magnetici che possono superare i valori imposti dalle norme.

La normativa attualmente in vigore disciplina in modo differente i valori ammissibili di campo elettromagnetico, distinguendo i "campi elettromagnetici quasi statici" ed i "campi elettromagnetici a radio frequenza".

Nel caso dei campi quasi statici, ha senso ragionare separatamente sui fenomeni elettrici e magnetici e ha quindi anche senso imporre separatamente dei limiti normativi alle intensità del campo elettrico e dell'induzione magnetica. Il modello quasi statico è applicato al caso della distribuzione di energia, in relazione alla frequenza di distribuzione dell'energia in rete che è pari a 50Hz. In generale gli elettrodotti dedicati alla trasmissione e distribuzione di energia elettrica sono percorsi da correnti elettriche di intensità diversa, ma tutte alla frequenza di 50 Hz, e quindi tutti i fenomeni elettromagnetici coinvolti possono essere studiati correttamente con il modello per campi quasi statici. Gli impianti per la produzione e la distribuzione dell'energia elettrica alla frequenza di 50 Hz, costituiscono una sorgente di campi elettromagnetici nell'intervallo 30-300 Hz.

Ai fini dei calcoli e delle valutazioni nei paragrafi seguenti è stata considerata normale condizione di esercizio quella in cui l'impianto trasferisce alla rete di trasmissione nazionale la massima produzione, cioè 46,5 MW.

Questa ipotesi conduce a valutazioni cautelative con riferimento all'intensità massima della induzione magnetica generata.

5.4 Differenza tra campi magnetici indotti da linee elettriche aeree e da cavidotti interrati

Come accennato, l'intensità del campo magnetico generato in corrispondenza di un elettrodotto dipende dall'intensità della corrente circolante nel conduttore; tale flusso risulta estremamente variabile sia nell'arco di una giornata sia su scala temporale maggiore. Per le linee elettriche aeree, il campo magnetico assume il valore massimo in corrispondenza della minima distanza dei conduttori dal suolo, ossia al centro della campata, e decade molto rapidamente allontanandosi dalle linee.

Non c'è alcun effetto schermante nei confronti dei campi magnetici da parte di edifici, alberi o altri oggetti vicini alla linea: quindi all'interno di eventuali edifici circostanti si può misurare un campo magnetico di intensità comparabile a quello riscontrabile all'esterno. Quindi, sia campo elettrico che campo magnetico decadono all'aumentare della distanza dalla linea elettrica, ma mentre il campo elettrico è facilmente schermabile da oggetti quali legno, metallo, ma anche alberi ed edifici, il campo magnetico non è schermabile dalla maggior parte dei materiali di uso comune.

Le grandezze che determinano l'intensità del campo magnetico circostante un elettrodotto sono:

- distanza dalle sorgenti (conduttori);
- intensità delle sorgenti (correnti di linea);
- disposizione e distanza tra sorgenti (distanza reciproca tra i conduttori di fase);
- presenza di sorgenti compensatrici;
- suddivisione delle sorgenti (terne multiple).

I metodi di controllo del campo magnetico si basano principalmente sulla riduzione della distanza tra le fasi, sull'installazione di circuiti addizionali (spire) nei quali circolano correnti di schermo, sull'utilizzazione di circuiti in doppia terna a fasi incrociate e sull'utilizzazione di linee in cavo.

Nel caso di elettrodotti in alta tensione, i valori di campo magnetico, pur al di sotto dei valori di legge imposti, sono notevolmente al di sopra della soglia di attenzione epidemiologica (SAE) che è di $0.2 \mu\text{T}$. Infatti, solo distanze superiori a circa 80 m dal conduttore permettono di rilevare un valore così basso del campo magnetico. È necessario notare inoltre che aumentare l'altezza dei conduttori da terra permette di ridurre il livello massimo generato di campo magnetico ma non la distanza dall'asse alla quale si raggiunge la SAE.

È possibile ridurre questi valori di campo interrando gli elettrodotti. Questi vengono posti a circa **1.00-1.50 metri di profondità** e sono composti da un conduttore cilindrico, una guaina isolante, una guaina conduttrice (la quale funge da schermante per i disturbi esterni, i quali sono più acuti nel sottosuolo in quanto il terreno è molto più conduttore dell'aria) e un rivestimento protettivo. I fili vengono posti a circa 20 cm l'uno dall'altro e possono assumere disposizione lineare (terna piana) o triangolare (trifoglio).

I cavi interrati generano, a parità di corrente trasportata, un campo magnetico al livello del suolo più intenso degli elettrodotti aerei (circa il doppio), però l'intensità di campo magnetico si riduce molto più rapidamente con la distanza (i circa 80 m suddetti diventano, in questo caso, circa 24).

Altri metodi con i quali ridurre i valori di intensità di campo elettrico e magnetico possono essere quelli di usare "linee compatte", dove i cavi vengono avvicinati tra di loro in quanto questi sono isolati con delle membrane isolanti. Queste portano ad una riduzione del campo magnetico.

I cavi interrati sono quindi un'alternativa all'uso delle linee aeree; essi sono disposti alla profondità di almeno 1.20 metri dal suolo, linearmente sullo stesso piano oppure a triangolo (disposizione a trifoglio).

Confrontando quindi il campo magnetico generato da linee aeree con quello generato da cavi interrati, si può notare che per i cavi interrati l'intensità massima del campo magnetico è più elevata, ma presenta un'attenuazione più pronunciata. In generale si può affermare che l'intensità a livello del suolo immediatamente al di sopra dei cavi di una linea interrata è inferiore a quella immediatamente al di sotto di una linea aerea ad alta tensione. Ciò è dovuto soprattutto ad una maggiore compensazione delle componenti vettoriali associate alle diverse fasi, per effetto della reciproca vicinanza dei cavi, che essendo isolati, possono essere accostati l'uno all'altro, come non può farsi per una linea aerea.

6 Fasce di rispetto

Come anticipato in premessa, l'impatto elettromagnetico indotto dall'impianto in progetto risulta determinato da:

- linee MT in cavidotti interrati;
- Trasformatori di tensione MT/BT

6.1 Cavidotti interrati AT

Per quanto riguarda l'impatto elettromagnetico generato dai circuiti AT all'interno dell'impianto, si deve considerare una fascia della larghezza inferiore a 1.00 m intorno alla superficie esterna della torre in acciaio, in quanto, all'interno di questa fascia si avrà un valore di induzione magnetica $>$ di 3 μ T, mentre al suo interno viene rispettato il limite di qualità.

Nei pressi dell'area delimitata dalla recinzione dell'impianto non è prevista la presenza di persone dal momento che l'accesso alla stessa è interdetto al pubblico trattandosi di aree private. È consentito l'accesso alla viabilità, nei pressi dei pannelli ed all'interno dell'area dell'impianto, solo a personale esperto ed addestrato, che comunque accede sporadicamente e per tempi limitati in occasione di manutenzioni programmate e/o straordinarie.

Per quanto concerne i cavi MT interrati che collegano ogni sottocampo, tramite circuiti dedicati, alla stazione di trasformazione il valore di qualità (**induzione magnetica $<$ di 3 μ T**) si raggiunge ad una distanza di circa 1.00 m dal cavo. Nel presente caso, tuttavia, ogni cavo sarà costituito da cavi pre-cordati riuniti ad elica che comportano un'ampiezza minore della fascia di rispetto suddetta (cfr. la fig. seguente). In ogni caso, si ricorda che è comunque previsto l'interramento di ogni cavo ad una profondità di almeno 1.50 m rispetto al piano campagna.

Le aree in cui avverrà la posa dei cavi sono prevalentemente localizzate lungo la viabilità esistente ed aree agricole dove, tra l'altro, non è prevista la permanenza stabile di persone per oltre 4 ore né tantomeno è prevista la costruzione di edifici.

6.2 LINEE ELETTRICHE INTERRATE IN MT

Oltre a ridurre l'impatto paesaggistico i cavi interrati riducono in maniera significativa anche il campo elettrico ed il campo magnetico. I cavi delle linee interrate sono costituiti generalmente da un conduttore cilindrico, una guaina isolante, una guaina conduttrice ed un rivestimento protettivo.

In genere i cavi di MT interrati vengono posizionati ad una profondità minima di 1,5 metro e possono essere disposti a terna piana (in piano ad alcuni centimetri di distanza l'uno dall'altro) o a trifoglio (ai vertici di un ipotetico triangolo e quindi attaccati l'uno all'altro).

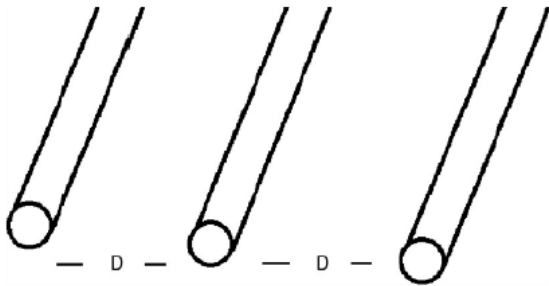


Figura 5: configurazione piana di tre conduttori

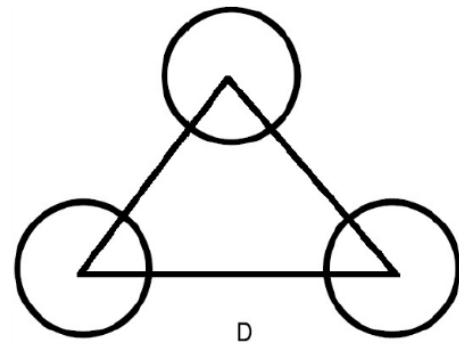


Figura 6: configurazione a trifoglio di tre conduttori

In prossimità delle linee elettriche si generano sempre un campo elettrico ed un campo magnetico a frequenza industriale (50Hz). L'intensità del campo elettrico dipende principalmente dalla tensione della linea e aumenta al crescere della tensione; il suo valore efficace è massimo in prossimità della linea ma decresce rapidamente allontanandosi da essa.

Nel caso di linee elettriche interrato i campi elettrici già al disopra delle linee *sono insignificanti* e sempre minori rispetto alle linee aeree grazie all'effetto schermante del rivestimento del cavo e del terreno. Il *campo magnetico* di una linea elettrica dipende dall'intensità della corrente che circola nei conduttori. Poiché la corrente, come già detto, può variare nell'arco della giornata, della settimana o dell'anno anche l'intensità del campo magnetico varia di conseguenza.

Occorre effettuare un calcolo previsionale del campo di induzione magnetica generato da un cavidotto, anche se interrato, perché non è praticabile una sua schermatura mediante materiali ad alta permeabilità magnetica.

Il campo d'induzione magnetica è regolato dalla legge di Biot-Savart: esso è direttamente proporzionale all'intensità di corrente che circola nei conduttori e inversamente proporzionale alla distanza.

Nel presente progetto occorre tenere presente che il cavidotto è una linea trifase, cioè composto da una terna di correnti di uguale intensità ma sfasate nel tempo. Poiché il campo magnetico, in ogni punto dello spazio circostante, è dato dalla composizione vettoriale dei contributi delle singole correnti alternate, ne deriva un effetto di mutua compensazione di tali contributi tanto maggiore quanto più vicine tra loro sono le sorgenti, fino ad avere una compensazione totale se le tre correnti fossero concentriche.

A differenza delle linee aeree, per le quali la distanza minima è limitata dalla necessaria distanza tra le fasi e dipende dalla tensione di esercizio, durante la posa delle linee in cavo è possibile collocare i conduttori a poche decine di centimetri l'uno dall'altro; questo permette di ottenere un sostanziale abbattimento del campo magnetico già a poca distanza.

6.2.1 Calcolo e verifica dei campi ELF emessi dalla linea interrata

I campi ELF oltre che misurati possono essere stimati attraverso l'utilizzo di programmi di calcolo per la cui applicazione è necessaria la conoscenza di alcuni dati della linea elettrica. In particolare serve conoscere le caratteristiche geometriche della linea (diametro dei conduttori e loro reciproca posizione spaziale, distanza da terra), le sue caratteristiche elettriche (tensione, intensità di corrente) e la posizione (distanza e altezza) del punto dove devono essere valutati i campi rispetto ai conduttori della linea.

Il calcolo che segue si rifà direttamente alle indicazioni della norma CEI 211-4 "Guida ai metodi di calcolo dei campi elettrici e magnetici generati da linee elettriche" pubblicata dal Comitato Elettrotecnico

Italiano nel luglio 1996. Trascurando il calcolo di verifica del campo elettrico che, per come detto in precedenza, risulta non significativo per le linee elettriche interrato, l'algoritmo di calcolo utilizzato per il calcolo dell'induzione magnetica generata da una linea ha come punto di partenza la legge Biot-Savart che consente di calcolare in un generico punto dello spazio il valore dell'induzione magnetica B prodotta da un conduttore rettilineo percorso da una corrente I attraverso la:

$$B = \frac{\mu_0}{2\pi} \frac{I}{d} \hat{u}_i \times \hat{u}_r$$

Dove:

d = distanza tra il conduttore e il punto di calcolo;

$\hat{u}_i \times \hat{u}_r$ = prodotto vettoriale dei versori che indicano il verso della corrente e della relativa normale.

Sviluppando la relazione precedente per un insieme di N conduttori rettilinei, orizzontali e paralleli fra loro, e dette x_i e y_i le coordinate del conduttore i-esimo, le componenti x e y totali dell'induzione magnetica generata nel punto dello spazio (x, y) dall'intera configurazione di conduttori possono essere espresse attraverso le seguenti relazioni:

$$B_x = \frac{\mu_0}{2\pi} \sum_{i=1}^N I_i \frac{(y_i - y)}{(x - x_i)^2 + (y - y_i)^2}$$

$$B_y = \frac{\mu_0}{2\pi} \sum_{i=1}^N I_i \frac{(x - x_i)}{(x - x_i)^2 + (y - y_i)^2}$$

In prima approssimazione l'induzione magnetica generata da un conduttore singolo si può calcolare con la seguente formula (Biot e Savart):

$$B = \frac{0,2 \cdot I}{r}$$

dove B rappresenta l'induzione magnetica misurata in micro Tesla (μT), I la corrente in ampere (A) e r la distanza in metri (m).

Per una linea trifase costituita da tre conduttori piani, tipicamente presente in ambito industriale, l'andamento rispetta la seguente formula:

$$B = \frac{0,35 \cdot I \cdot D}{r^2}$$

dove **D** è la distanza tra i due conduttori in metri.

Se i tre conduttori sono posati nella configurazione a trifoglio l'induzione magnetica si può calcolare con la seguente formula:

$$B = \frac{0,25 \cdot I \cdot D}{r^2}$$

Per il cavo MT di connessione della cabina di consegna alla sottostazione di trasformazione AT/MT, con una potenza massima trasferita di 28,2MW (circuito 1), per posa interrata a 1,5m di profondità si ottiene la curva di distribuzione del campo elettromagnetico come riportato nelle figure che seguono:

TABELLA RIEPILOGATIVA DEI VALORI PREVISTI			
TIPO DI POSA		A TRIFOGLIO	
Tensione trasporto		KV	30
cos fi		0,9	
Potenza nominale		MW	28,20
VALORE DELLA CORRENTE		A	603,01
DUSTANZA DEI CONDOTTI		m	0,1
PROFONDITA' DI POSA		m	1,5
SUL PIANO CAMPAGNA		SOPRA IL PIANO CAMPAGNA	
h=0m		h	2
DISTANZA DALL'ASSE DELLA LINEA	CAMPO DI INDUZIONE MAGNETICA	DISTANZA DALL'ASSE DELLA LINEA	CAMPO DI INDUZIONE MAGNETICA
[m]	[μT]	[m]	[μT]
-20	0,037	-20	0,036
-18	0,045	-18	0,044
-16	0,057	-16	0,055
-14	0,075	-14	0,071
-12	0,101	-12	0,095
-10	0,144	-10	0,132
-8	0,223	-8	0,194
-6	0,386	-6	0,306
-4	0,809	-4	0,523
-2	2,363	-2	0,909
-1	4,545	-1	1,115
0	6,565	0	1,206
1	4,545	1	1,115
2	2,363	2	0,909
4	0,809	4	0,523
6	0,386	6	0,306
8	0,223	8	0,194
10	0,144	10	0,132
12	0,101	12	0,095
14	0,075	14	0,071
16	0,057	16	0,055
18	0,045	18	0,044
20	0,037	20	0,036



Figura 7: campo elettromagnetico a piano campagna



Figura 8: campo elettromagnetico a 1,5 m sopra il suolo

6.2.2 Condizioni di carico ed ipotesi di calcolo

La connessione all'interno del campo delle cabine di trasformazione del generatore fotovoltaico è realizzata attraverso tre conduttori unipolari avvolti ad elica in alluminio o rame, con tipo di isolante ad alto modulo elastico, schermati sotto guaina di XLPE e disposti in piano alla profondità di circa 1,2 m.

Il *campo elettrico* risulta ridotto in maniera significativa per l'effetto combinato dovuto alla speciale guaina schermante del cavo ed alla presenza del terreno che presenta una costante dielettrica elevata.

Per i motivi sopra elencati, il campo elettrico risulta ampiamente entro i limiti di legge e non è necessario considerarlo nei calcoli e nei grafici che seguono.

Per il calcolo previsionale del campo d'induzione magnetica generato dalla linea, si è utilizzato un modello che si basa sul modello matematico bidimensionale dei conduttori rettilinei, paralleli ed indefiniti, secondo quanto indicato dalla Norma CEI 211-4.

Il terreno è stato supposto completamente permeabile al campo magnetico. L'utilizzo di conduttori ad elica, nella realizzazione della linea, permette di ottenere un ulteriore abbattimento del campo magnetico e costituisce una condizione migliore rispetto al modello considerato.

Nella figura seguente è schematizzato il tipo di posa dei cavi utilizzato nella simulazione (situazione peggiorativa)

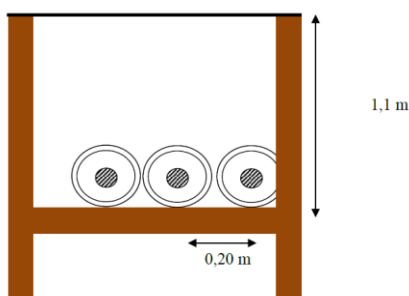


Figura 9: scema di posa per la simulazione

Rovesciando la logica, è anche possibile calcolare la distanza R' dal baricentro dei conduttori, alla quale l'induzione magnetica si riduce al valore dell'obiettivo di qualità di $3 \mu\text{T}$:

$$R' = 0,34 \cdot \sqrt{S \cdot I}$$

Per il cavo MT di connessione dell'impianto alla SET, assumendo la posa di cavi unipolari a triangolo, la distanza dall'asse della linea a livello del suolo ($h=0$) R_0 (figura), oltre la quale l'induzione magnetica scende al di sotto dell'obiettivo di qualità di $3 \mu\text{T}$ (d è la profondità di posa):

$$R_0 = \sqrt{0,082 \cdot P \cdot I - d^2}$$

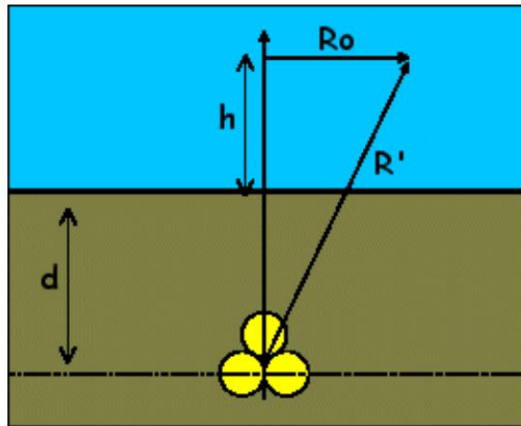


Figura 10: Schema e distanze di cavi interrati posati a triangolo (CEI 106-11)

Sulla base dei dati di progetto

- Tensione nominale della linea: 30kV
- Potenza massima cavidotto esterno: 28.2 MW
- Corrente massima cavidotto esterno: 603,01 A

ad una profondità di 1,5 m con distanza fra i cavi di circa 0,10 m si ottiene:

$$R_0 = \sqrt{0,082 \cdot 0,1 \cdot 603,01 - 1,5^2} = 1,64m$$

Per le considerazioni sopra svolte, per le indicazioni che vengono dalla letteratura scientifica e per le risultanze di calcolo, si può affermare che il costruendo cavidotto a 30 kV (MT) darà contributi in termini di campo elettrico e di induzione magnetica che nei riguardi delle abitazioni più prossime risulteranno al di sotto dei limiti di esposizione dei valori di attenzione e degli obiettivi di qualità di cui al DPCM 8 luglio 2003 e che entro una fascia di 3 m non risultano risiedere ricettori sensibili.

6.3 Cabine di trasformazione interne al campo fotovoltaico e cabine di smistamento

Data la distanza assicurata in fase di progetto fra i trasformatori posizionati nelle cabine di campo e le abitazioni circostanti più prossime, comunque molto lontane, si può ritenere trascurabile il contributo di tali apparati elettrici in riferimento a campi elettrici e magnetici. L'impianto, inoltre, non è stabilmente presidiato, la presenza dell'uomo nelle vicinanze delle cabine di trasformazione è legata unicamente agli interventi di manutenzione ordinaria e/o straordinaria che, in ogni caso, sono effettuate con impianto non in produzione, quando il campo elettromagnetico generato dalla corrente prodotta dal generatore è nulla.

6.3.1 Possibili interventi di riduzione del campo elettromagnetico

La guida CEI 106-12 prende in considerazione due metodi di mitigazione dei campi magnetici generati dalle cabine, indicando nel primo sicuramente la scelta più efficace e preferibile:

- a) Agire sulla configurazione e componentistica della cabina eseguendo una o più delle seguenti azioni durante la messa in opera o la ristrutturazione della cabina:

- **Allontanare le sorgenti di campo più pericolose** (quadri e relativi collegamenti al trasformatore) dai muri della cabina confinanti con l'ambiente esterno ove si vuole ridurre il campo. Infatti i collegamenti BT trasformatorequadro sono in genere quelli interessati dalle correnti e quindi dai campi magnetici più elevati;
- **Avvicinare le fasi dei collegamenti** utilizzando preferibilmente cavi cordati;
- Disporre in modo ottimale le fasi, nel caso in cui si utilizzino per esse più cavi unipolari in parallelo;
- **Utilizzare unità modulari compatte;**
- Nel caso in cui il collegamento trasformatore-quadro BT fosse ancora realizzato con piattina di rame nudo, sostituirlo con cavi posati possibilmente al centro della cabina;
- **Utilizzare cavi tripolari cordati, piuttosto che cavi unipolari, per gli eventuali collegamenti entra-esce in Alta Tensione.** Infatti, in particolare i circuiti che collegano le linee AT ai relativi scomparti di cabina (nel caso appunto di collegamento in "entra-esce" della cabina alla rete) sono percorsi da una corrente che può essere dello stesso ordine di grandezza di quelle dei circuiti di bassa tensione. Meno importanti, dal punto di vista della produzione di campi elettromagnetici, sono invece i collegamenti tra il trasformatore ed il relativo scomparto del quadro AT; in questo caso infatti la corrente è solamente di qualche decina di ampere e, generalmente, il percorso dei cavi interessa la parte più interna della cabina;
- Posizionare i trasformatori in modo che i passanti di alta tensione (correnti basse) siano rivolti verso la parete della cabina ed i passanti di bassa tensione (correnti alte) siano invece rivolti verso il centro della cabina (questo ovviamente se i problemi sono oltre le pareti e non sopra il soffitto o sotto il pavimento).
- **Utilizzare preferibilmente trasformatori in olio**, invece che in resina, poiché la cassa in ferro rende trascurabili i flussi dispersi nell'ambiente circostante, producendo un'efficace azione schermante

In ogni caso, anche durante la produzione dell'impianto fotovoltaico, nell'ipotesi sebbene remota che si riscontrassero valori di campo magnetico superiori ai limiti di legge, si ricorrerà alla tecnica della schermatura attraverso gli schermi magnetici o gli schermi conduttivi. Nel primo caso, l'obiettivo della schermatura è quello di distogliere il flusso magnetico dal suo percorso, per convogliarlo in zone non presidiate da persone, mentre nel secondo, attraverso gli schermi conduttivi, si contrasta il flusso esistente con un altro contrario. La schermatura può essere limitata alle sorgenti (soprattutto cavi e quadri BT) o estesa all'intero locale cabina.

6.3.2 Distanza di prima approssimazione per cabine di trasformazione con installato un solo trasformatore

Le cabine di trasformazione hanno la funzione di alzare la bassa tensione di 800 V per l'impianto fotovoltaico e di 690V per l'impianto di accumulo alla tensione di utilizzo di 30 kV. La sorgente che genera i campi magnetici all'interno di una cabina di trasformazione è essenzialmente il lato bassa tensione del trasformatore.

Anche per le cabine di trasformazione viene definita una DPA. Ai sensi del Decreto 29 maggio 2008 la fascia di rispetto deve essere calcolata simulando una linea trifase, con cavi paralleli percorsa dalla corrente nominale BT in uscita dal trasformatore (I) e con distanza tra le fasi pari al diametro reale (massimo = 0,043 m) del cavo applicando la seguente relazione:

$$DPA = \sqrt{I \cdot 0,40942 \cdot x^{0,5242}}$$

La D.P.A. poi va considerata direttamente dai muri della cabina stessa.

La relazione di cui sopra è valida solo per trasformatori con potenza massima pari a 630 kVA e per un solo trasformatore collocato all'interno della cabina. Si precisa che la D.P.A. va considerata dai muri della cabina. Il decreto del 29 maggio non specifica come calcolare la D.P.A. per potenze installate superiori a 630 kVA o nel caso sia presente più di un trasformatore, questi casi vengono definiti come "complessi".

Nel caso si debba stimare la D.P.A. per un solo trasformatore di potenza superiore a 630 kVA si può utilizzare la formula:

$$DPA = \sqrt{0,11 \cdot I \cdot d}$$

Come valore di corrente (I) occorre inserire la massima corrente circolante sul lato bassa tensione del trasformatore. La corrente si può calcolare con la formula seguente in funzione della potenza del trasformatore (P in kVA):

$$I = \frac{P}{Vn \cdot \sqrt{3}}$$

La distanza d in metri (diametro conduttori) si può stimare se non conosciuta considerando la massima corrente circolante in un cavo in funzione della sezione fissata pari a 1,3 A/mm²:

$$d = 0,002 \cdot \sqrt{\frac{I}{4}}$$

Compattando le relazioni precedenti si ottiene la formula:

$$DPA = \sqrt{0,11 \cdot \left(\frac{P}{Vn \cdot \sqrt{3}}\right)^{3/2} \cdot 0,002 \cdot \sqrt{\frac{1}{4}}} = \sqrt{0,00011 \cdot \left(\frac{P}{Vn \cdot \sqrt{3}}\right)^{3/2}}$$

Nel caso dell'impianto fotovoltaico sono installati trasformatori con potenza massima 5.000 kVA, con secondario a 800V, quindi la D.P.A. calcolata con la formula precedente risulta:

$$DPA = \sqrt{0,00011 \cdot \left(\frac{5000}{0,80 \cdot \sqrt{3}}\right)^{3/2}} = 4,88 \text{ m}$$

Nel caso dell'impianto di accumulo sono installate power station con trasformatore da 4.000 kVA, con secondario a 690V, quindi la D.P.A. calcolata con la formula precedente risulta:

$$DPA = \sqrt{0,00011 \cdot \left(\frac{4000}{0,69 \cdot \sqrt{3}}\right)^{3/2}} = \mathbf{4,62\ m}$$

7 Sottostazione di condivisione e trasformazione MT/AT

A valle cavidotto esterno in MT, come detto, è prevista la realizzazione di una sottostazione elettrica di condivisione e trasformazione da media ad alta tensione (MT/AT) situata nelle immediate vicinanze del punto di consegna.

Tale sottostazione, pertanto, sarà distinguibile in due unità separate: la prima, indicata anche come "stazione di condivisione a 150 kV", sarà utilizzata per condividere lo stallo di connessione assegnato da Terna spa tra diversi produttori di energia e la seconda, indicata anche come "stazione utenza di trasformazione 30/250 kV".

La seconda, in particolare, sarà costituita da:

- un montante trasformatore (completo di trasformatore AT/MT);
- un locale per l'alloggiamento dei quadri di potenza e controllo e delle apparecchiature di misura dell'energia elettrica.

Il montante trasformatore, in particolare, sarà costituito dalle seguenti apparecchiature:

- trasformatore AT/MT;
- scaricatori di sovratensione AT;
- trasformatori di corrente;
- interruttore tripolare AT con comando motorizzato;
- trasformatore di tensione capacitivo AT;
- sezionatore tripolare AT con comando motorizzato.

Il trasformatore sarà dotato di sonde termometriche installate sugli avvolgimenti secondari del trasformatore stesso e di dispositivi per la rilevazione della pressione dell'olio di isolamento; i segnali delle protezioni sopra descritte saranno inviate al quadro di controllo della sottostazione e utilizzate per le eventuali segnalazioni di allarme e blocco.

All'interno dell'area della sottostazione di trasformazione AT/MT, come detto, sarà posta in opera una cabina costituita da elementi prefabbricati poggiati su una fondazione in cls armato gettato in opera in modo da contenere le apparecchiature di potenza e controllo della sottostazione stessa oltre alle apparecchiature di misura dell'energia elettrica.

La cabina sarà composta dai i seguenti locali:

- locale misure;
- locale quadri;
- locale batterie;
- locale servizi igienici;
- locale SCADA.

Il collegamento tra la sottostazione di trasformazione e la sottostazione di consegna verrà realizzato mediante cavo in alta tensione come previsto dalla STMG in modo da trasferire l'energia elettrica prodotta alla Rete di Trasmissione Nazionale (RTN).

L'area della sottostazione sarà delimitata da una recinzione con elementi prefabbricati "a pettine", che saranno installati su apposito cordolo in calcestruzzo (interrato). La finitura del piazzale interno sarà in asfalto. In corrispondenza delle apparecchiature AT sarà realizzata una finitura in ghiaietto.

Per quanto concerne la determinazione della fascia di rispetto, la sottostazione è del tutto assimilabile ad una Cabina Primaria, per la quale la fascia di rispetto rientra nei confini dell'area di pertinenza dell'impianto (area recintata).

Ciò in conformità a quanto riportato al paragrafo 5.2.2 dell'Allegato al decreto 29 maggio 2008 (per questa tipologia di impianti la Distanza di Prima Approssimazione (DPA) e, quindi, la fascia di rispetto, rientra generalmente nei confini dell'area di pertinenza dell'impianto stesso.

L'impatto elettromagnetico nella sottostazione risulta essenzialmente dovuto:

- al trasformatore MT/AT;
- alla realizzazione delle linee/sbarre aeree di connessione tra il trafo, le apparecchiature elettromeccaniche e l'area Terna.

L'impatto generato dalle sbarre AT è di gran lunga quello più significativo e pertanto, di seguito si considera solo la valutazione della fascia di rispetto di queste ultime.

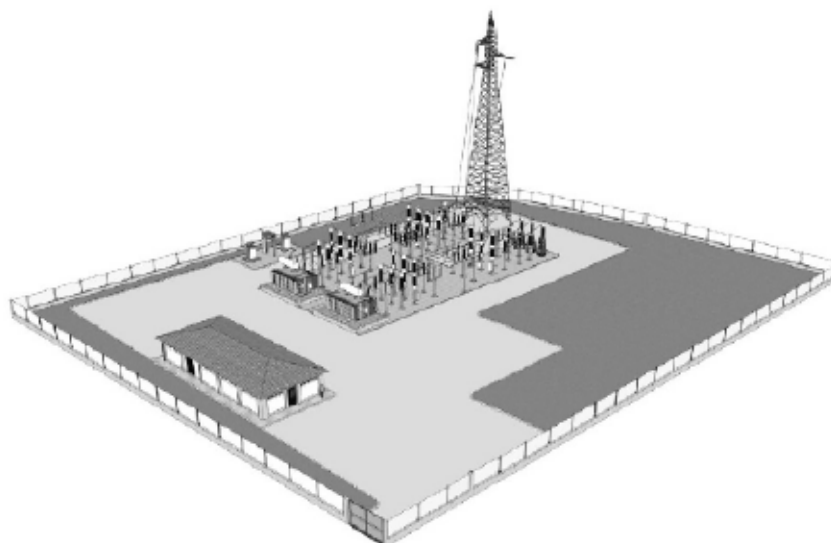
Le sbarre AT sono assimilabili a linee aeree trifase a 150 kV con conduttori posti in piano ad una distanza reciproca di 2.20 m ed attraversati da correnti simmetriche ed equilibrate. La potenza massima trasmessa, in questo caso, può essere considerata pari a circa 103 MW in quanto le sbarre risultano condivise tra vari produttori.

Nel caso in esame, pertanto, risulta:

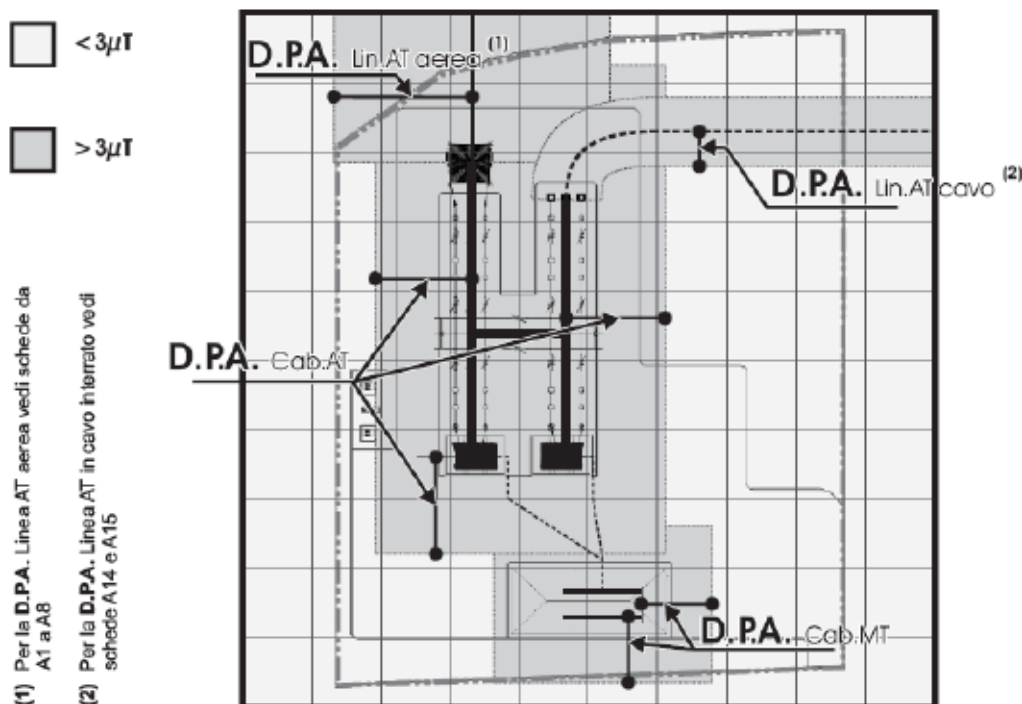
- S = distanza tra i conduttori = 2.20 m;
- P_n = Potenza massima = 103 MW;
- V_n = Tensione nominale delle sbarre AT = 150 kV;
- $\cos \varphi$ = Fattore di potenza = 0.90.

Pertanto, si avrà:

$$I = \frac{P_n}{V_n \times 1.73 \times \cos \varphi} = \frac{103\,000\,000}{150\,000 \times 1.73 \times 0.90} = 441 \text{ A}$$



RAPPRESENTAZIONE DELLA FASCIA DI RISPETTO E DELLA D.P.A.



Tipologia trasformatore [MVA]	CABINA PRIMARIA						
	D.P.A. Cab. da centro sbarre AT	Distanza tra le fasi AT	Corrente	D.P.A. Cab. da centro sbarre MT	Distanza tra le fasi MT	Corrente	Riferimento
	m	m	A	m	m	A	
63	14	2.20	870	7	0.38	2332	A16

Figura 11: Scheda A16 (rif: "Linea guida per l'applicazione del § 5.1.3 dell'allegato al d.m. 29.05.08")

ed utilizzando la formula di approssimazione proposta al paragrafo 6.2.1 della norma CEI 106-11, si ha:

$$R' = 0.34 \times \sqrt{S \times I} = 0.34 \times \sqrt{2.20 \times 441} = \mathbf{10,6\ m}$$

Tale valore risulta paragonabile alla DPA riportata nella scheda A16 (cfr. la fig. seguente) della "Linea guida ENEL per l'applicazione del § 5.1.3 dell'allegato al d.m. 29.05.08" ed è inferiore alla distanza delle sbarre stesse dal perimetro della stazione di condivisione e trasformazione.

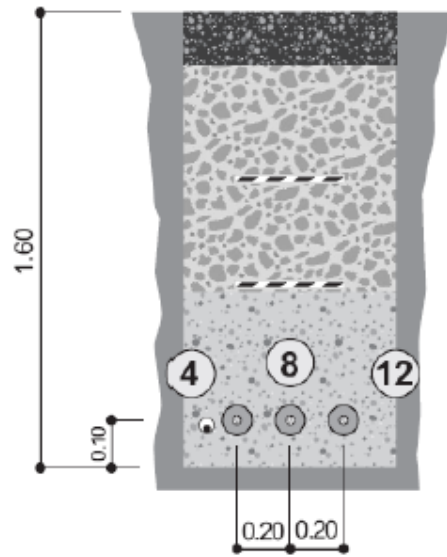
Alla luce dei risultati ottenuti, si può affermare che, in conformità a quanto previsto dal d.m. 29 maggio 2008 la Distanza di Prima Approssimazione (DPA) e, quindi, la fascia di rispetto rientra nei confini dell'area di pertinenza della stazione in progetto.

Pertanto, si può concludere che l'impatto elettromagnetico su persone prodotto dalla realizzazione della stazione sia del tutto trascurabile.

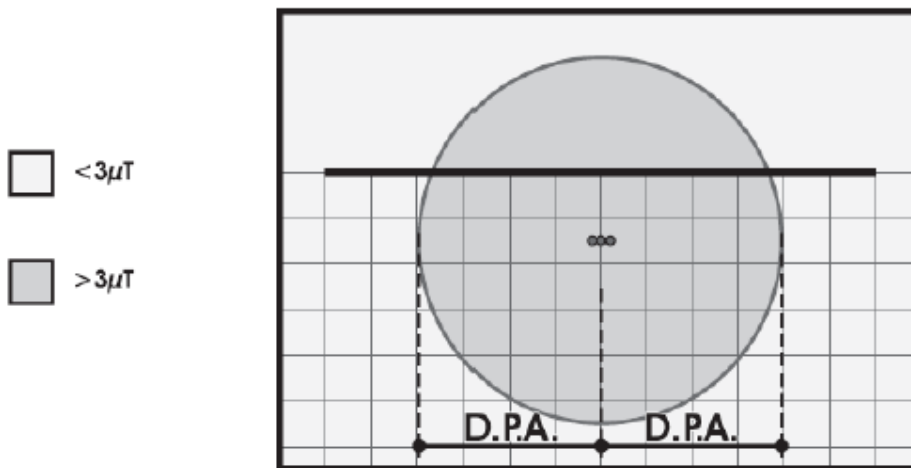
7.1 Raccordo interrato AT

Come detto, il raccordo interrato di connessione AT permette di collegare la stazione di condivisione alla SE Terna per la consegna alla RTN dell'energia prodotta dall'impianto in progetto. Tale linea elettrica AT a 150 kV sarà costituita da **cavi unipolari avvolti reciprocamente a spirale.**

Con riferimento alla "Linea guida ENEL per l'applicazione del § 5.1.3 dell'allegato al d.m. 29.05.08" nelle schede A15 e A14 sono presenti valori di DPA (cfr. la fig. seguente) compresi tra 3.10 e 5.10 m. Grazie all'avvolgimento dei cavi a spirale, tuttavia, tale larghezza deve essere considerata inferiore a quanto riportato nel citato d.m.

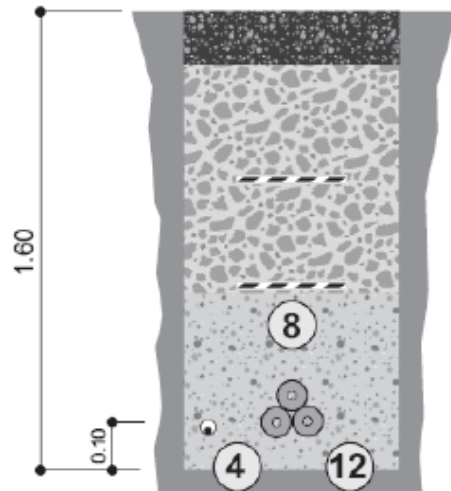


RAPPRESENTAZIONE DELLA FASCIA DI RISPETTO E DELLA D.P.A.

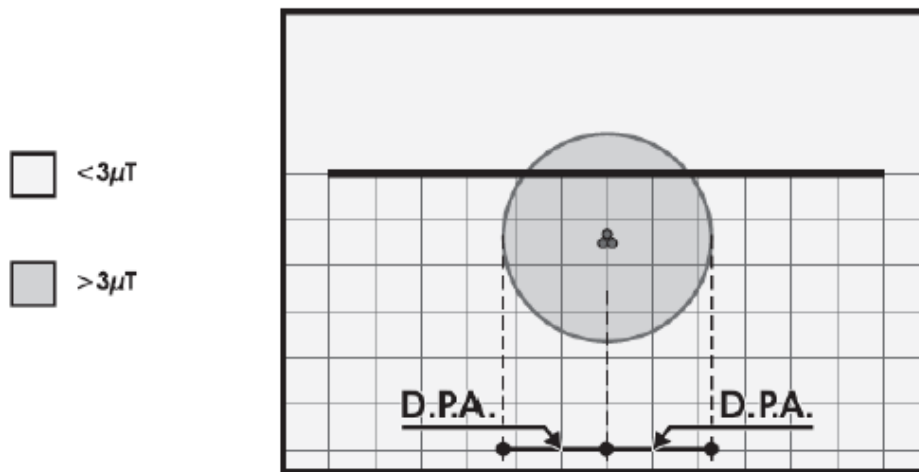


CONDUTTORI IN ALLUMINIO-ACCIAIO				
Diametro Esterno [mm]	Sezione Totale [mm ²]	CEI - 11-60 Portata [A]		
		Corrente A	D.P.A. m	Riferimento
108	1600	1110	5.10	A14

Figura 12: Scheda A14 (rif: "Linea guida per l'applicazione del § 5.1.3 dell'allegato al d.m. 29.05.08")



RAPPRESENTAZIONE DELLA FASCIA DI RISPETTO E DELLA D.P.A.



CONDUTTORI IN ALLUMINIO-ACCIAIO				
Diametro Esterno [mm]	Sezione Totale [mm ²]	CEI - 11-60 Portata [A]		
		Corrente A	D.P.A. m	Riferimento
108	1600	1110	3.10	A15

Figura 13: Scheda A14 (rif: "Linea guida per l'applicazione del § 5.1.3 dell'allegato al d.m. 29.05.08")

8 Conclusioni

In base alle considerazioni ed ai calcoli eseguiti, non si riscontrano problematiche particolari relative all'impatto elettromagnetico dei componenti dell'impianto fotovoltaico in progetto in merito all'esposizione umana ai campi elettrici e magnetici.

Le valutazioni effettuate confermano la rispondenza alle norme vigenti dell'impianto dal punto degli effetti del campo elettromagnetico sulla salute umana.